

بررسی عددی رفتار جریان بر روی سرریزهای کلیدپیانویی ذوزنقه‌ای انحنادار

عادل عدالتی، رامین امینی*

دانشکده مهندسی عمران، دانشگاه صنعتی شاهرود، شاهرود، ایران.

تاریخچه داوری:

دریافت: ۱۴۰۱/۹/۲۰

بازنگری: ۱۴۰۲/۰۷/۰۳

پذیرش: ۱۴۰۲/۰۷/۳۰

ارائه آنلاین: ۱۴۰۲/۰۸/۱۷

کلمات کلیدی:

سرریز کلید پیانویی

ضریب عبوردهی جریان

مدل سازی عددی

زاویه سرریز

تعداد سیکل

خلاصه: سرریز از معمول ترین سازه‌های هیدرولیکی ساخته شر است که جهت اندازه‌گیری دبی جریان در کanal‌ها، انحراف جریان، ذخیره آب، تعییر رژیم جریان در کanal‌ها و کنترل سیالاب در موقع بارش مورد استفاده قرار می‌گیرند. سرریزهای آزاد به دو دسته‌ی خطی و غیرخطی تقسیم می‌شوند. سرریز کلید پیانویی نوعی سرریز غیرخطی بوده و یکی از بهترین گرینه‌ها از نظر هیدرولیکی - اقتصادی به منظور استفاده در پروژه‌های بهسازی جهت افزایش ظرفیت تخلیه در هنگام سیالاب و افزایش حجم مخزن در پروژه‌های جدید سدسازی به شمار می‌آید. از مهم‌ترین مزیت‌های سرریزهای کلید پیانویی نسبت به سرریزهای خطی، بهبود ظرفیت انتقال جریان از طریق افزایش طول تاج و در تیجه افزایش طول آبگذری در یک عرض ثابت ساختگاه بدون افزایش بار آبی بالادست می‌باشد. هدف از انجام تحقیق حاضر، مدل سازی عددی جریان و بررسی اثر تغییرات همزمان تعداد سیکل و زاویه‌ی سرریز بر روی ضریب عبوردهی جریان با ثابت نگه داشتن طول کل تاج سرریز و سایر پارامترهای هندسی برای دوازده مدل می‌باشد. پس از بررسی‌های صورت گرفته مشخص گردید، افزایش زاویه‌ی سرریز کلید پیانویی در یک طول ثابت برای تمامی مدل‌ها موجب افزایش ضریب عبوردهی جریان می‌شود در حالی که با افزایش تعداد سیکل در یک طول ثابت به دلیل کاهش مساحت آبگیر کلید ورودی، افزایش انقباض خطوط جریان و در پی آن تشدید استفراغ موضعی در کلید خروجی، ضریب عبوردهی جریان کاهش چشمگیری خواهد داشت. درین تمامی سرریزهای مدل سازی شده در تحقیق حاضر، سرریز ATPK135-2 به عنوان مدل برتر شناخته شده و توانست ضریب عبوردهی جریان را نسبت به حالت خطی (بدون انحنای) به میزان ۴۷ درصد افزایش دهد.

۱- مقدمه

نوع D سرریز فاقد هر گونه کنسول می‌باشد. لازم به ذکر است که نوع A موضوع تحقیق حاضر نیز می‌باشد. شکل ۱ نشان‌دهنده ا نوع سرریزهای کلید پیانویی، پارامترهای هندسی و هیدرولیکی وابسته به هندسه‌ی این نوع سرریز و اجزای تشکیل‌دهنده سازه‌ی آن نیز می‌باشد.

مطابق شکل ۱ مهم‌ترین پارامترهای هندسی سرریز کلید پیانویی نوع

A عبارتند از :

P : ارتفاع سرریز -

P_m : ارتفاع تاج تا مرکز سطوح شبیدار کلید ورودی و خروجی -

L : طول تاج -

S_i : شبک کلید ورودی -

S_o : شبک کلید خروجی -

B : طول تاج کناری -

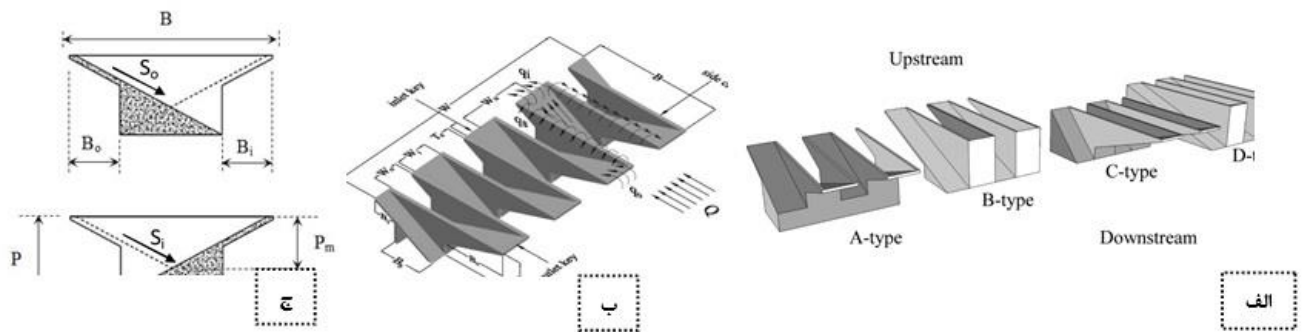
B_i : طول کنسول کلید ورودی -

شدت جریان در سرریزها با طول تاج آن‌ها نسبت مستقیم دارد. سرریزهای غیرخطی برخلاف سرریزهای خطی معمولی می‌توانند ظرفیت انتقال جریان را بدون افزایش عرض سرریز و بدون افزایش بار آبی بالادست، افزایش دهنند. در این میان شکل جدیدی از سرریزهای غیرخطی، سرریزهای کلیدپیانویی هستند. سرریزهای کلیدپیانویی ظرفیت تخلیه دبی بسیار بالای دارند و به همین علت می‌توانند به عنوان سازه‌ای اقتصادی با کارایی بالا مورد استفاده قرار گیرند. اخیراً شکل‌های گوناگونی از سرریزها به همین روش توسعه یافته و در پروژه‌های مختلف سدسازی مورد استفاده قرار گرفته است. به طور کلی سرریزهای کلیدپیانویی را می‌توان به ۴ نوع A, B, C, D تقسیم کرد. در نوع A، سرریز شامل کنسول‌های مشابه در بالادست و پایین دست می‌باشد. انواع B و C شامل یک کنسول در بالادست یا پایین دست هستند و در

* نویسنده عهدهدار مکاتبات: web2_ramin.amini@shahroodut.ac.ir

حقوق مؤلفین به نویسنده‌گان و حقوق ناشر به انتشارات دانشگاه امیرکبیر داده شده است. این مقاله تحت لیسانس آفرینندگی مردمی (Creative Commons License) در دسترس شما قرار گرفته است. برای جزئیات این لیسانس، از آدرس <https://www.creativecommons.org/licenses/by-nc/4.0/legalcode> دیدن فرمائید.





شکل ۱. انواع سرریز کلید پیانوی، ب) پارامترهای هندسی سرریز کلیدپیانوی نوع A در نمای سه بعدی، ج) پارامترهای هندسی سرریز کلیدپیانوی نوع A در مقطع عرضی.

Fig. 1. a) types of PKW, b) PKW geometric parameters in three-dimensional view, c) PKW geometric parameters in cross section.

بر اساس مطالعات آزمایشگاهی لمپریره^۱، بهینه‌ترین مقدار برای نسبت عرض کلید ورودی (W_i) به کلید خروجی (W_o) برابر $1/2$ می‌باشد. آن‌ها رابطه‌ی (۲) را به عنوان رابطه‌ی اشل-دبی^۲ برای سرریزهای کلید پیانوی ارائه دادند. در رابطه‌ی (۲)، q دبی در واحد عرض بر حسب متر مربع بر ثانیه و P_m ارتفاع مشخصه‌ی سرریز بر حسب متر است[۲].

$$q = 4.3H\sqrt{P_m} \quad (2)$$

در سال ۲۰۱۱ اندرسن و تولیس به بررسی سرریزهای هم ارتفاع کلیدپیانوی، کنگرهای و کنگرهای با کلیدهای شبیدار با پلان مستطیلی و یکسان پرداختند. نتایج آن‌ها نشان داد که در طراحی یک سرریز با محدودیت‌هایی در عرض کanal و عرض سرریز اگر طول بیشتری بتون با محدودیت‌های فضای ساخت ایجاد کرد، حتی اگر منحنی‌های ضریب آبگذری (C_d) برای آن هندسه از سرریز کمتر باشند، افزایش مقدار دبی در یک هد ثابت کاملاً قابل ملاحظه است. ولی به طور کلی منحنی ضریب آبگذری نسبت به (H_t/P) (نسبت ارتفاع جریان از روی سرریز تا خط تراز انرژی به تاج سرریز) در سرریزهای کنگرهای ذوزنقه‌ای با زوایای بزرگ‌تر، نسبت به سرریزهای کلیدپیانوی بیشتر است[۳].

1 Lempérier
2 stage-discharge

B_0 : طول کنسول کلید خروجی
 W_i : عرض کلید ورودی
 W_o : عرض کلید خروجی
عملکرد هیدرولیکی سرریزهای آزاد برای یک هد ثابت، رابطه‌ی مستقیم با طول سرریز داشته و ضریب آبگذری (C_d) سرریزهای مذکور به کمک رابطه‌ی (۱) محاسبه می‌شود[۱]:

$$C_d = Q / \left(\frac{2}{3} L \sqrt{2g} H^{1.5} \right) \quad (1)$$

در رابطه‌ی فوق L طول کل تاج سرریز، H هد جریان روی سرریز و Q دبی جریان است. محدودیت عرض در اجرای سرریزها منجر به کاهش ظرفیت تخلیه‌ی آن‌ها می‌شود به همین دلیل سرریزهای کنگرهای (غیرخطی) به عنوان یک راه حل مناسب به منظور بهبود کارایی هیدرولیکی این سرریزها توسعه داده شده است. سرریزهای کنگرهای قادر هستند در عرض ثابت ساختگاه، طول آبگذری جریان (L) را نیز افزایش دهند اما شکل قائم دیواره‌های این سرریزها باعث ایجاد فشردگی جریان‌های نزدیک شونده به سرریز و کاهش عملکرد هیدرولیکی سرریز می‌شود به همین منظور شکل جدیدی از سرریزهای غیرخطی یعنی سرریز کلید پیانوی توسط موسسه هیدروکوپ فرانسه و آزمایشگاه هیدرولیک و محیط زیست دانشگاه بیسکارا ارائه گردید.

صرف نظر از مقدار W/L ، حداقل مقدار ضریب تخلیه مربوط به نسبت H/P نزدیک به $0/2$ است.

$TPKW$ می‌تواند برای اهداف عملی مفید باشد[۶].

در سال ۲۰۱۷ صفرزاده و نوروزی به بررسی و مقایسه عددی راندمان، توزیع خطوط جریان و هیدرودینامیک سرریز کنگرهای و کلیدپیانوی مستطیلی یکسان در پلان پرداخته و کاهش استغراق موضعی و یکنواختتر نمودن توزیع دبی بر روی تاج سرریز کلیدپیانوی نسبت به سرریز کنگرهای را به دلیل هندسه خاص عامل اصلی بالا بودن راندمان آن نسبت به مدل دوم معرفی نمودند. در ادامه این گروه با ثابت نگهداشت آن نسبت های هندسه و ابعاد سرریز از جمله طول تاج (بالا دست، پایین دست و جانبی) زاویه تاج جانبی را افزایش داده و به مقایسه راندمان و توزیع خطوط جریان سرریز کلیدپیانوی مستطیلی و ذوزنقه ای در پلان پرداختند. نتایج آن ها حکی از افزایش ضریب دبی مدل ذوزنقه ای نسبت به مدل مستطیلی بوده است. نکته قابل تأمل افزایش عرض سرریز زاویه دار نسبت به مدل مستطیلی (کاهش L/W) است که در این حالت برای مقایسه بهتر باید دبی در واحد سرریز به عنوان معیار مقایسه مدنظر قرار گیرد[۷].

در سال ۲۰۱۸ کروکستن، اندرسن و تولیس به بررسی روش تخمین تخلیه جریان آزاد برای هندسه های سرریز کلید پیانوی پرداختند. نتایج مطالعات آنها درباره ای اعتبارسنجی روش دینامیک سیالات محاسباتی (CFD) بر روی سرریز کلید پیانوی نشان داد که شبیه سازی سه بعدی دینامیک سیالات محاسباتی، با استفاده از مدل های LES و $k-\epsilon$ RNG برای هیدرولیکی سرریز کلیدپیانوی با میانگین خطاهای نسبی ۳ تا ۴ درصد برای دو نمونه ای آزمایشی مناسب می باشد و همچنین بیان کردند که داده های تجربی برای کالیبراسیون و شبیه سازی نتایج CFD ضروری هستند[۸]. زینلی گو و همکاران در سال ۲۰۱۹، فرمول های ظرفیت تخلیه سرریز های کلیدپیانوی که در سال های گذشته توسعه یافته را مقایسه کردند و فرمولی را براساس داده های آزمون موجود ارائه دادند. نتایج تجزیه و تحلیل نشان داد که مقادیر پیش بینی شده توسط فرمول پیشنهادی مطابقت خوبی با داده های آزمون شده دارند. با میانگین خطای در محدوده ۵ تا ۸ درصد اگر نسبت H/P بیشتر از $1/15$ باشد. فرمول پیشنهادی یک رویکرد آسان و عملی برای پیش بینی ظرفیت انتشار سرریز های کلیدپیانوی است. با در نظر گرفتن اثر مقیاس از یک مدل و تاثیر کشش سطح آب، نسبت هد در کاربردهای عملی باید بزرگتر از $1/0$ باشد.

در سال ۲۰۱۳ ریبرو و همکاران یک بررسی اجمالی از تست های مدل انجام شده مربوط به سرریز کلیدپیانوی را ارائه دادند که شامل تحقیقات مربوط به نمونه های اولیه خاص و همچنین مدل های تحقیقاتی برای انجام تجزیه و تحلیل پارامترهای سیستمی می شد. نتایج اصلی عبارت بودند از [۴]: کاربرد استفاده از سرریز کلیدپیانوی به عنوان جایگزینی برای بازسازی سد و پروژه جدید سرریز طی سال های گذشته افزایش یافته و به دنبال آن یک پایگاه داده مهم از آزمایشات سیستماتیک ایجاد شده است.

پارامترهای کلیدی کنترل ظرفیت تخلیه سرریز های کلیدپیانوی شامل L , W , P_m هستند. این پارامترها قبل از تخلیه می توانند مطالعه ای از آزمایشات سیستماتیک انجام شده در کanal های آزمایشگاهی، به طور دقیق مورد مطالعه قرار گرفته اند.

مطالعات سال های بعدی در مورد سرریز های کلیدپیانوی که در شرایط جریان آزاد کار می کنند، احتمالا در تجزیه و تحلیل تاثیر پارامترهای ثانویه مانند شرایط نزدیک شدن، شکل و ضخامت تاج، شکل انحراف زیر کلیدهای خروجی، طول برآمدگی ها و وجود دیوارهای جانپناه در کلیدهای خروجی متمرکز خواهد شد.

سیسرو و دلایسل در سال ۲۰۱۳ آزمایش های خود را بر روی یک سرریز کلیدپیانوی ساده با اشکال تاج تخت، نیمه گرد و یک چهارم گرد انجام دادند. این تجزیه و تحلیل تایید کرد که تاثیر شکل تاج بر ظرفیت تخلیه در هدهای کم و اشکال نیم گرد و یک چهارم گرد عملکرد هیدرولیکی بهتری از عملکرد شکل تخت دارد و افزایش در دبی (مربوط به تاج تخت) با افزایش ارتفاع سد می تواند از 20% به 10% در هد پایین دست، هنگامی که اثرات مقیاس ناجیز باشد، مؤثر باشد[۵].

مهمودی و همکاران در سال ۲۰۱۶ مطالعات آزمایشگاهی گسترده ای بر روی سرریز کلیدپیانوی ذوزنقه ای^۱ ($TPKW$) انجام دادند و در این بررسی ثابت شد که ضریب تخلیه $TPKW$ ، 22 درصد بیشتر از سرریز کلیدپیانوی مستطیلی^۲ ($RPKW$) است. علاوه بر این، اثرات پارامترهای هندسی $TPKW$ بر ضریب تخلیه مورد بررسی قرار گرفت که می تواند به صورت زیر خلاصه شود:

در میان نسبت های هندسی، W_i/W_0 و L/W به ترتیب کمترین و بالاترین تاثیر را در افزایش مقدار ضریب تخلیه (C_d) داشتند. برای یک هد (H) معین، میزان تخلیه سرریز برای مقادیر بالاتر ارتفاع تاج (P) به طرز چشم گیری افزایش می یابد.

1 Trapezoidal Piano Key Weirs

2 Rectangular piano key weirs

درجه منجر به کاهش ضریب گذردهی سرریز به ترتیب برابر ۱۲ تا ۱۸ درصد شده است. علاوه بر این نتایج همچنین کاهش بیشتر ظرفیت تخلیه را به ازای افزایش زاویه‌ی دیوار جانبی نشان داده است. در نهایت او توصیه کرد که بهتر است تحقیقات جامع‌تری برای تاثیر متغیرهای سرریز کلید پیانوی با زاویه‌ی دیوار جانبی به منظور بهینه‌سازی هزینه‌ها و عملکرد هیدرولیکی آن انجام شود.^[۱۱]

مونیش کومار و همکاران در سال ۲۰۲۰ در تحقیقات آزمایشگاهی خود، کارایی تخلیه افزایش یافته با سرریزهای کلیدپیانوی ذوزنقه‌ای را با سرریزهای کلیدپیانوی مستطیلی مقایسه کردند و به این نتیجه رسیدند که هردو دارای نسبت L/W یکسان هستند. سود حاصل از هم‌افزایی تخلیه سرریزهای ذوزنقه‌ای نسبت به سرریزهای مستطیلی بین ۲ تا ۱۵ درصد بود. تاثیر ارتفاع سرریز در افزایش ظرفیت تخلیه هر دو نوع سرریز کلیدپیانوی به دلیل محدودیت غوطه‌وری زود هنگام کلیدهای خروجی با سرریزهای کم ارتفاع، مشتبث مشاهده شد. در تحقیقات فعلی، تاثیر ارتفاع سرریز مشاهده شده با سرریزهای کلیدپیانوی ذوزنقه‌ای از سرریزهای مستطیلی کلیدپیانوی در تاثیرگذاری روی عملکرد هیدرولیکی، کمی قوی‌تر بود.^[۱۲]

همان‌طور که در پیشینه سرریزهای خطی و غیرخطی ملاحظه شد، بر روی سرریزهای کلیدپیانوی، مطالعات تجربی و آزمایشگاهی بسیاری در زمینه‌ی بازدهی عملکرد، ابعاد و مقاطع بهینه در آزمایشگاه‌های معتبر با امکانات فراوان و به تبع آن صرف زمان بسیار زیاد، صورت پذیرفته است. البته باید به این نکته توجه کرد که جریان بر روی این سرریزها به علت کنگره‌دار بودن، شبیه‌ها و فرم خاص کلیدها بسیار پیچیده بوده و تحلیل تأثیر پارامترهای گوناگون بر روی آن‌ها مشکل است چه بسا گاه به علت تعداد پارامترها، این تأثیرات دوجانبه نیز شده و تشخیص تأثیرات جداگانه هر پارامتر را دشوار ساخته است. با مرور بر روی این پیشینه به نظر می‌رسد که اختلاف نظرهایی در خصوص فرم سرریزهای کلید پیانوی در پلان (انحنادار بودن و در واقع حالت خطی یا غیرخطی این سرریزها) وجود دارد به گونه‌ای که بعضی از محققین حالت خطی سرریز کلیدپیانوی و برخی دیگر حالت غیرخطی (انحنادار در پلان) آن را برتر دانسته‌اند همچنین با بررسی دقیق تر تحقیقات صورت گرفته در سالیان اخیر بر روی تأثیر تغییرات پارامترهای هندسی سرریز کلید پیانوی می‌توان دریافت، که در مدل‌های آزمایشگاهی و عددی ارائه شده توسط محققین، پارامترهای هندسی تاثیرگذار بر رفتار سرریز از جمله طول کل سرریز، ارتفاع تاج، عرض کلید ورودی و خروجی سرریز و عرض دهانه ساختگاه به گونه‌ای در نظر گرفته شده‌اند که نتوانسته

از آنجایی که در حال حاضر هیچ استاندارد ثابت و عملی برای طراحی و ارزیابی سرریز کلیدپیانوی در دسترس نیست، از فرمول پیشنهادی می‌توان به عنوان مرجعی برای ارزیابی ظرفیت تخلیه سرریزهای کلیدپیانوی نوع A و هدایت طراحی آن استفاده کرد.

در مورد یک هد بالادست کوچک (به طور معمول H/P کمتر از $0/2$) ظرفیت تخلیه سرریز کلیدپیانوی نسبتاً زیاد است و نسبت بهبود تخلیه بالاتر از 3 است که نشان‌دهنده افزایش آشکار جریان تخلیه است. با این حال، جریان مطلق هنوز به دلیل کوچک بودن هد در این مورد زیاد نیست. با در نظر گرفتن این که H/P کمتر از 1 برای کارهای عادی، یک محدوده عملی برای نسبت بهبود تخلیه $1/2$ تا $3/5$ است، با افزایش هد بالادست، طول کلی L سرریز نقش غالب در جریان تخلیه دارد و افزایش جریان تخلیه کاهش می‌یابد.

هنگامی که H/P بزرگتر از $1/2$ باشد، ضریب نسبت جریان در محدوده $1/2$ تا $1/3$ است. بنابراین، جریان تخلیه سرریز کلیدپیانوی به این معنا نمی‌تواند به روشهای محدود افزایش یابد و در عوض، باید محدوده معقولی برای هد تعریف شود. لازم به ذکر است که ضخامت دیواره جانبی، ارتفاع جانپناه روی سرریز و شکل جانپناه از عوامل ثانویه هستند که ممکن است تأثیر ناچیزی بر ظرفیت تخلیه داشته باشند و اثرات خاص آن‌ها را می‌توان از نظر کمی در کارهای بعدی بررسی کرد.^[۹]

در سال ۲۰۱۹ چهار طبقه، نظری و شوشتري به مطالعه‌ی آزمایشگاهی و عددی سرریز کلیدپیانوی با احتما در پلان پرداختند. مقایسه نتایج بدست آمده برای سرریزهای کلیدپیانوی ذوزنقه‌ای انحنادار (ATPKW) و سرریز کلید پیانوی مستطیلی خطی^۱ (LRPKW) نشان داد که، در نسبت‌های پایین‌تر H/P (ارتفاع جریان روی سرریز به ارتفاع تاج) سرریزهای LR-PKW عملکرد بهتری به نمایش گذاشتند با این حال، افزایش نسبت H/P به تدریج اما مداوم عملکرد هیدرولیکی مدل‌های ATPKW را بهبود می‌بخشد. کاهش زاویه‌ی قوس در مدل‌های ATPKW در ابتدا عملکرد هیدرولیکی این مدل‌ها را کاهش داد اما بعداً به طرز چشمگیری تقویت کرد.^[۱۰]

در سال ۲۰۲۰ عبدالجبار یوسیف تأثیر زاویه دیوار جانبی بر ضریب گذر و ظرفیت تخلیه سرریز کلیدپیانوی را به صورت آزمایشگاهی بررسی کرد. او نشان داد که سرریز کلیدپیانوی مستطیلی از تمام مدل‌های غیر مستطیلی خیلی بهتر عمل می‌کند. او بیان کرد که افزایش زاویه دیوار جانبی به 5 و 7

1 Arced Trapezoidal Piano Key Weirs

2 Linear Rectangular Piano Key Weirs

که V_f کسر حجمی سیال، ρ چگالی سیال، مولفه‌های سرعت (u, v, w) در جهات (x, y, z) می‌باشند. A_x و A_z کسر سطح باز در جهات x , y و z می‌باشند.

۲-۲- معادله اندازه حرکت

معادلات حرکت برای مولفه‌های سرعت سیال (u, v, w) در سه جهت مختصات یا به عبارت دیگر معادلات ناویر استوکس بصورت زیر می‌باشند:

$$\begin{aligned} \frac{\partial u}{\partial t} + \frac{1}{V_f} \left(u A_x \frac{\partial u}{\partial x} + v A_y \frac{\partial u}{\partial y} + w A_z \frac{\partial u}{\partial z} \right) &= -\frac{1}{\rho} \frac{\partial P}{\partial x} + G_x + f_x \\ \frac{\partial v}{\partial t} + \frac{1}{V_f} \left(u A_x \frac{\partial v}{\partial x} + v A_y \frac{\partial v}{\partial y} + w A_z \frac{\partial v}{\partial z} \right) &= -\frac{1}{\rho} \frac{\partial P}{\partial y} + G_y + f_y \\ \frac{\partial w}{\partial t} + \frac{1}{V_f} \left(u A_x \frac{\partial w}{\partial x} + v A_y \frac{\partial w}{\partial y} + w A_z \frac{\partial w}{\partial z} \right) &= -\frac{1}{\rho} \frac{\partial P}{\partial z} + G_z + f_z \end{aligned} \quad (4)$$

در این معادلات $G_{x,y,z}$ شتاب جرم و $f_{x,y,z}$ شتاب لزجت در سه جهت اصلی و برای متغیرهای لزجت دینامیکی μ می‌باشد.

$$\begin{aligned} \rho V_f f_x &= wsx - \left\{ \frac{\partial}{\partial x} (A_x \tau_{xx}) + \frac{\partial}{\partial y} (A_y \tau_{xy}) + \frac{\partial}{\partial z} (A_z \tau_{xz}) \right\} \\ \rho V_f f_y &= wsy - \left\{ \frac{\partial}{\partial x} (A_x \tau_{xy}) + \frac{\partial}{\partial y} (A_y \tau_{yy}) + \frac{\partial}{\partial z} (A_z \tau_{yz}) \right\} \\ \rho V_f f_z &= wsz - \left\{ \frac{\partial}{\partial x} (A_x \tau_{xz}) + \frac{\partial}{\partial y} (A_y \tau_{yz}) + \frac{\partial}{\partial z} (A_z \tau_{zz}) \right\} \end{aligned} \quad (5)$$

در معادلات (۵) ws بیانگر تنش‌های برشی دیواره‌ها هستند. اگر این جملات حذف شوند، دیگر تنش برشی دیواره‌ای وجود نخواهد داشت زیرا جملات باقی‌مانده شامل کسر مساحت‌های جریان (A_x, A_y, A_z) می‌شوند که در آنها دیواره‌ها در نظر گرفته نشده‌اند. تنش‌های روی دیواره‌ها به وسیله فرض سرعت مماسی صفر در قسمتی از سطح محدود به جریان شبیه‌سازی می‌شوند. شبکه و مرزهای موانع متحرک جزء موارد استثنای هستند زیرا در آن‌ها سرعت مماسی غیر صفر است.

تأثیر تغییرات پارامتر مد نظر را به درستی نشان دهد. امروزه با پیشرفت تکنولوژی و فناوری، مهندسین بیشتر به دنبال طراحی و شبیه‌سازی سرریزهای پیچیده با نرم‌افزارهای مربوطه هستند تا در کنار پژوهش‌های بسیار ارزشمند تجربی، اطلاعات و نتایج پژوهش‌های عددی نیز کمکی به رفع مشکلات آن‌ها بنمایند. در تحقیق حاضر، تلاش شده تأثیر همزمان تغییر زاویه سرریز و تعداد سیکل با توجه به کاهش اثر چند جانبه‌ی سایر پارامترهای هندسی به کمک مدل‌سازی عددی با نرم‌افزار فلوتری دی^۱ مورد بررسی قرار گیرد. به همین منظور در گام اول با استفاده از نتایج آزمایشگاهی یکی از مدل‌های اندرسون مدل‌سازی عددی انجام و صحبت‌سنجدی مدل عددی با بررسی دو مدل آشفتگی RNG^۲ و LES^۳ انجام گردید. در گام دوم پس از صحبت‌سنجدی مدل عددی و انتخاب مدل آشفتگی برتر، به بررسی تأثیر تغییرات پارامترهای هندسی زاویه سرریز و تعداد سیکل نیز پرداخته شده و در گام آخر با تحلیل نتایج به دست آمده، تأثیر تغییرات همزمان زاویه سرریز و تعداد سیکل بر ضریب آبگذری سرریز مشخص شده و سپس سرریز بهینه با کارایی بهتر معرفی شده است.

۲-۳- معادلات حاکم بر جریان در مدل FLOW-3D

معادلات حاکم بر جریان سیال در واقع همان قوانین بقای جرم و اندازه حرکت هستند که به صورت معادلات دیفرانسیل جزئی نوشته می‌شوند. به منظور دستیابی به معادلات جریان، سه گام باید طی شود. گام اول انتخاب قوانین پایه صحیح، گام دوم کاربرد قوانین توسط یک مدل مناسب جریان و گام سوم فرآیندی معادلات ریاضی که نشان‌دهنده‌ی قوانین فیزیکی مذکور باشند. معادلات اصلی برای شبیه‌سازی جریان سه‌بعدی، چهار معادله دیفرانسیل شامل روابط پیوستگی و اندازه حرکت در جهات (x, y, z) هستند.

۲-۱- معادله پیوستگی

معادله پیوستگی جرم را می‌توان به شکل زیر نوشت:

$$V_f \frac{\partial \rho}{\partial t} + \frac{\partial}{\partial x} (\rho u A_x) + \frac{\partial}{\partial y} (\rho v A_y) + \frac{\partial}{\partial z} (\rho w A_z) = 0 \quad (3)$$

4 Fractional volume open to flow

5 Fractional area open to flow

1 Flow3D

2 Renormalization Group

3 Large Eddy Simulation

جدول ۱. مشخصات هندسی سرریز کلید پیانویی مستطیلی مورد استفاده برای صحبت‌سنگی مدل عددی (ابعاد بر حسب متر).

Table 1. Geometric characteristics of the RPKW used to validate the numerical model (dimensions in meters).

مقدار	نماد	پارامتر
۰/۱۹۶	P	ارتفاع سرریز
۴/۷۴۵	L=N(2lc+Wi+Wo)	طول تاج سرریز
۰/۹۳۲	W	عرض کانال
۰/۱۲۹	Wi	عرض کلید ورودی
۰/۱۲۹	Wo	عرض کلید خروجی
۵۵/۰/۵۶	Si	شیب کف کلید ورودی
۵۵/۰/۵۶	So	شیب کف کلید خروجی
۰/۴۸۹	lc	عرض سرریز
۰/۱۲۱	Bi	طول کنسول ورودی
۰/۱۲۱	Bo	طول کنسول خروجی
۰/۰۱۲	T	ضخامت دیواره سرریز
۴	N	تعداد سیکل‌ها
۵/۰/۹۰	L/W	نسبت طول تاج سرریز به عرض کانال
۱	Wi/Wo	نسبت عرض کلید ورودی به کلید خروجی
۰/۱۰۰	lc/L	نسبت عرض سرریز به طول تاج
۴	N=Wi+Wo+2lc	تعداد سیکل

مدل‌سازی عددی به ازای ۵ مقدار دبی از ۰/۰۶۴ تا ۰/۲۰ متر مکعب بر ثانیه صورت گرفته است. لازم به ذکر است جهت انجام شبیه‌سازی دبی به عنوان شرط اولیه بالادست اعمال می‌شود سپس هد جریان روی سرریز به عنوان خروجی استخراج شده است. برای سهولت و درک بیشتر برای هر شرط کدهایی اختصاص داده شده است. در این کدها حرف اول شرط اولیه و حرف دوم معرف پارامتر خروجی از مدل است همچنین زیرنویس نام اصلی شماره‌ی آنالیزهای انجام شده است.

۲-۳- شرایط مرزی

به منظور دستیابی به نتایج قابل قبول، باید شرایط مرزی متناسب با شرایط واقعی آزمایشگاهی انتخاب شود. به منظور توسعه یافته شدن هرچه بیشتر پروفیل سرعت ورودی باید شرط مرزی ورودی به مقدار کافی از سازه‌ی سرریز فاصله داشته باشد. مدل عددی دارای سه بلوک شبکه‌بندی

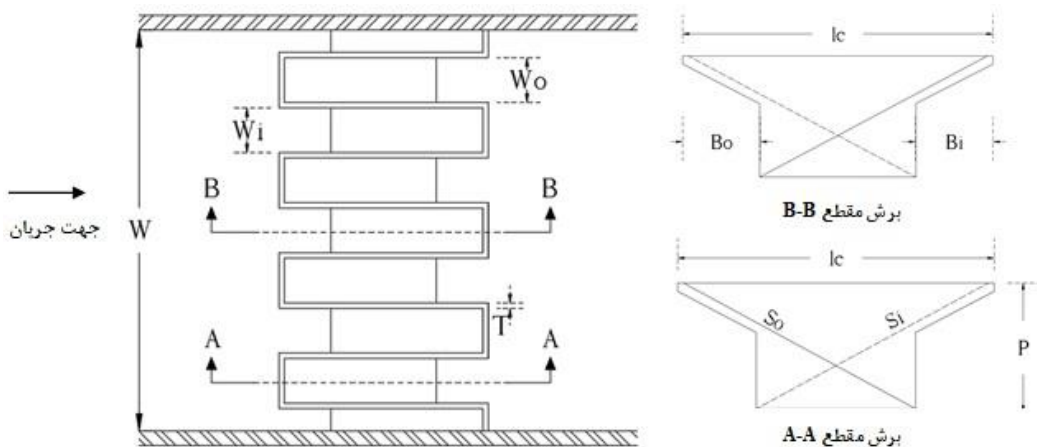
۳- هندسه و روش حل

۳-۱- صحبت‌سنگی نرم‌افزار برای شبیه‌سازی جریان بر روی سرریز کلید‌پیانوی

در این قسمت به تجزیه و تحلیل نتایج حاصل از تنظیم^۱ مدل عددی و مقایسه آن با نتایج مدل آزمایشگاهی متناظر انجام شده توسط اندرسون پرداخته شده است[۳]. در مطالعه‌ی حاضر یک مدل آزمایشگاهی، که در ادامه به آن اشاره خواهد شد، به عنوان مدل پایه تنظیم شده در نظر گرفته شده است.

۳-۱-۱- داده‌های آزمایشگاهی سرریزهای کلید پیانوی

جدول ۱ شامل جزئیات هندسی سرریز کلید‌پیانوی پایه‌ی تنظیمات می‌باشد[۳]. شکل ۲ پارامترهای هندسی مذکور در جدول ۱ را نشان می‌دهد.



شکل ۲. پارامترهای هندسی سرریزهای کلید پیانوی.

Fig. 2. Geometrical parameters of RPKW.

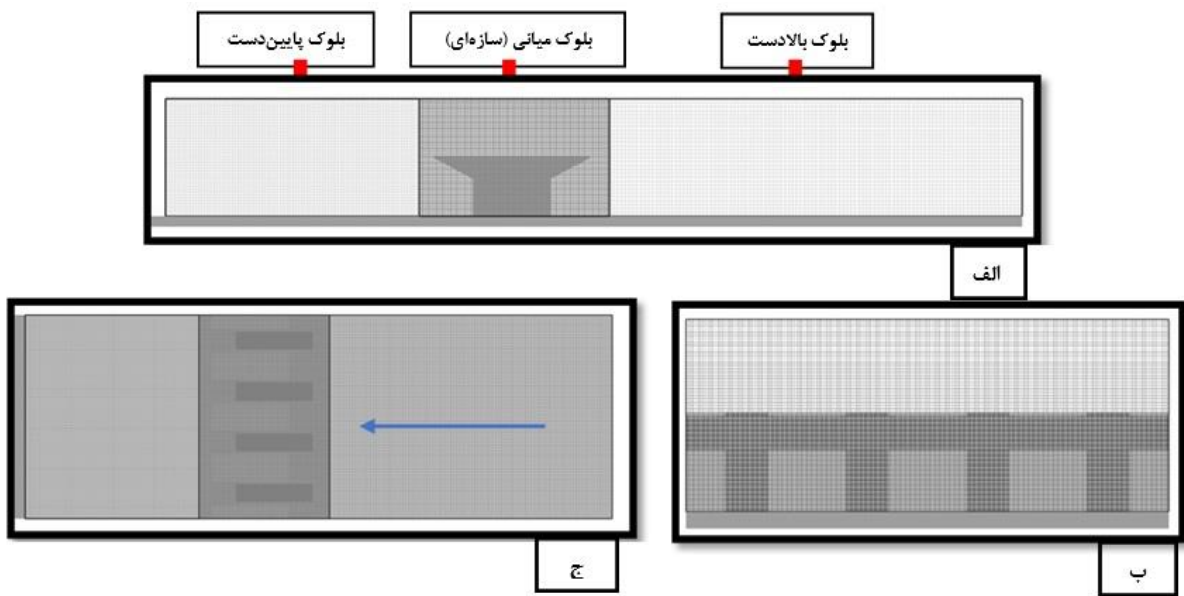
جدول ۲. دبی های انتخابی برای سناریوهای مختلف اجرای مدل عددی.

Table 2. Geometric characteristics of RPKW used to validate the numerical model (dimensions in meters).

کد شبیه‌سازی	دبی (مترمکعب بر ثانیه)
Q - H_1	۰/۰۶۴
Q - H_2	۰/۱۰۰
Q - H_3	۰/۱۴۲
Q - H_4	۰/۱۶۶
Q - H_5	۰/۲۰۰

سرریز دارای حساسیت بیشتر بوده و لازم است تمامی تغییرات جریان بر روی سرریز تا حد امکان قابل مشاهده و بررسی باشد. پس از استفاده از الگوریتم GCI، تعداد شبکه‌ی بهینه ($106 \times 76 \times 30$) برای بلوك بالادست، ($94 \times 148 \times 58$) برای بلوك میانی و ($104 \times 88 \times 35$) برای بلوك پایین دست انتخاب گردید. در ادامه و در جدول ۳ شرایط مرزی مورد استفاده در بلوك‌ها قابل ملاحظه می‌باشد. در شکل ۴ شرایط مرزی استفاده شده در مدل عددی نشان داده شده است.

غیریکنواخت با تعداد شبکه‌ی بهینه در امتداد (x, y, z) می‌باشد. شکل ۳ نشان‌دهنده‌ی نحوه‌ی شبکه‌بندی میدان حل سه بعدی می‌باشد. شبکه‌بندی بهینه برای هر بلوك با توجه به حساسیت موقعیت مکانی آن بلوك و همچنین به کمک الگوریتم GCI [۱۳] تعیین شده است. در الگوریتم مذکور، مناسب با مقدار دبی آزمایشگاهی، این پارامتر به عنوان هدف انتخاب گردید سپس با استفاده از شبکه‌بندی‌های مختلف، شبکه‌ی بهینه برای هر بلوك انتخاب شد. بدینهی است بلوك مربوط به سازه‌ی



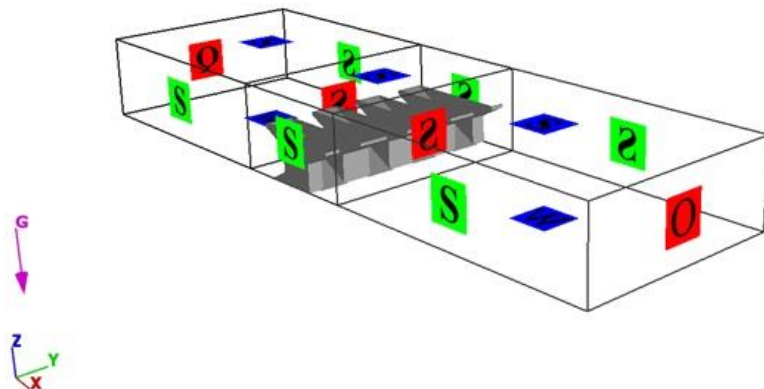
شکل ۳. شبکه‌بندی میدان حل سه بعدی سرریز کلید پیانویی در صفحه های مختصات (الف) صفحه xz (ب) صفحه yz (ج) صفحه xy .

Fig. 3. Gridding of the three-dimensional solution field of PKW a) xz plane b) yz plane c) xy plane.

جدول ۳. شرایط مرزی مورد استفاده در بلوک‌های شبکه‌بندی.

Table 3. Boundary conditions used in grid blocks.

مقدار	نماد	پارامتر
۰/۱۹۶	P	ارتفاع سرریز
۴/۷۴۵	$L=N(2lc+Wi+Wo)$	طول تاج سرریز
۰/۹۳۲	W	عرض کanal
۰/۱۲۹	Wi	عرض کلید ورودی
۰/۱۲۹	Wo	عرض کلید خروجی
۵۵/۰/۵۶	Si	شیب کف کلید ورودی
۵۵/۰/۵۶	So	شیب کف کلید خروجی
۰/۴۸۹	lc	عرض سرریز
۰/۱۲۱	Bi	طول کنسول ورودی
۰/۱۲۱	Bo	طول کنسول خروجی
۰/۰۱۲	T	ضخامت دیواره سرریز
۴	N	تعداد سیکل‌ها
۵/۰۹۰	L/W	نسبت طول تاج سرریز به عرض کanal
۱	Wi/Wo	نسبت عرض کلید ورودی به کلید خروجی
۰/۱۰۰	lc/L	نسبت عرض سرریز به طول تاج
۴	$N=Wi+Wo+2lc$	تعداد سیکل



شکل ۴. شرایط مرزی استفاده شده در شبیه‌سازی سه بعدی جریان روی سرریز کلید پیانوی.

Fig.4. Boundary conditions used in the 3D simulation of the flow over the piano key weir

۳-۲-۲-۲- صحبت سنجی نتایج

جهت مقایسه کمی نتایج مدل عددی با مدل آزمایشگاهی، باید پارامترهایی به عنوان معیار انتخاب شوند. این معیارها در مطالعه‌ی حاضر شامل میانگین خطای مطلق^۵ (MAE)، ضریب تعیین^۶ (R^2) و مجدور میانگین مربعات خطأ^۷ (RMSE) می‌باشند در معیارهای مذکور O^۸ بیانگر مقدار پارامتر مشاهده شده در داده‌های مدل آزمایشگاهی، P^۹ بیانگر مقدار پارامتر پیش‌بینی شده مطابق خروجی مدل عددی و N تعداد سناریوی مورد بررسی می‌باشد. روابط مربوط در جدول ۴ ارائه شده است. مطابق جدول ۵ مقادیر کوچک میانگین خطای مطلق و مجدور میانگین مربعات خطأ، داده‌های حاصل از مدل عددی اختلاف کمی (حداکثر ۵ درصد خطأ) با مقادیر آزمایشگاهی دارد همچنین مقدار بالای ضریب تعیین حاکی از همخوانی خیلی خوب روند تغییرات هد جریان، هد کل و ضریب عبوری دبی بین مدل عددی و نتایج آزمایشگاهی می‌باشد.

در مدل‌سازی اولیه با در نظر گرفتن دو مدل آشفتگی، مدل اجرا و با نتایج آزمایشگاهی مقایسه گردید، تا منطبق ترین نتایج نسبت به کار آزمایشگاهی، مبنای مدل‌سازی‌های بعدی در این زمینه قرار گیرد. بعد از مشخص شدن شرایط مشبندی مدل‌ها، برای تعیین بهترین مدل آشفتگی پنج آزمایش مورد بررسی قرار گرفت و برای ارزیابی عملکرد بهترین مدل انتقال آشفتگی از سه معیار MAE، RMSE و R^2 برای پارامتر هد جریان

۳-۲-۱- انتخاب مدل آشفتگی

بکی از مهم‌ترین مراحل در مدل‌سازی عددی جریان، انتخاب مدل آشفتگی مناسب بوده و در اکثر پدیده‌های طبیعی جریان سیال به صورت آشفته^{۱۰} می‌باشد. در تحقیق حاضر از دو مدل آشفتگی RNG^{۱۱} و LES^{۱۲} به منظور مدل‌سازی جریان با شبکه‌بندی یکسان برای هر دو مدل استفاده شده است. مدل آشفتگی RNG دارای معادلات و ضرایبی است که به صورت تحلیلی با استفاده از تئوری Renormalisation group استخراج شده است همچنین قادر است جریان‌های چرخشی با عدد Reynoldz^{۱۳} پایین را به خوبی شبیه‌سازی کند. در مدل LES یا به عبارتی شبیه‌سازی گردابه‌های بزرگ، جریان آشفته به وسیله‌ی گردابه‌هایی با طیف وسیعی از مقیاس‌های زمانی و طولی تعریف و توصیف می‌شود. به منظور صحبت‌سنجی مدل عددی، نمودار هد جریان بالادست نمونه‌ی آزمایشگاهی سرریز به ازای دبی‌های مختلف تعیین و در شکل ۵ با نتایج آزمایشگاهی اندرسون مقایسه شده است. شکل ۵ شامل هد محاسبه شده با استفاده از رابطه (۲) می‌باشد. مطابق شکل، نتایج روش عددی به خصوص مدل آشفتگی RNG انباطق خوبی با نتایج آزمایشگاهی و رابطه (۳) دارد البته لازم به ذکر است به طور کلی روش LES نتایج دقیق‌تری از روش RNG ارائه می‌دهد، اما نیازمند صرف هزینه‌ی محاسباتی زیاد و شبکه‌بندی ریزتر می‌باشد و همانطور که در قسمت‌های قبل بیان گردید، برای هر دو روش از یک شبکه‌بندی یکسان استفاده شده است.

۵ Mean absolute error

۶ R Square

۷ Root Mean Square Error

۸ Observed

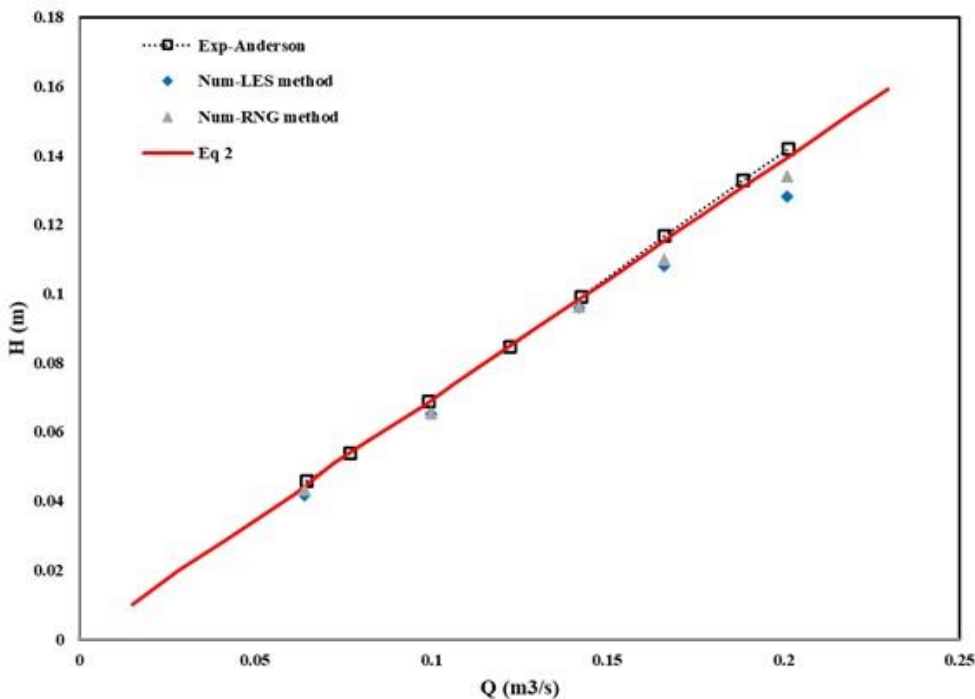
۹ Predicted

۱ Turbulent

۲ Re-Normalisation Group

۳ Large Eddy Simulation

۴ Reynolds number



شکل ۵. مقایسه تغییرات هد آب نسبت به دبی در سرریز مطابق مشخصات جدول ۱، بین داده‌های آزمایشگاهی و مدل عددی برای سناریو H_3 .

Fig. 5. Comparison of changes in water head relative to discharge in the weir according to the specifications of Table 1 between the laboratory data and the numerical model for the $Q-H_3$ scenario.

جدول ۴. معیارهای استفاده شده در ارزیابی نتایج مدل عددی نمونه آزمایشگاهی.

Table 4. The criteria used in evaluating the results of the numerical model of the laboratory sample.

رابطه	پارامتر
$\frac{\sum O - P }{N}$	MAE
$\sqrt{\frac{\sum(O - P)^2}{N}}$	RMSE
$1 - \frac{\sum(O - P)^2}{O^2 - \frac{\sum P^2}{N}}$	R^2

بوده و نتایج تحلیل این جریان توسط نرم افزار، قابل استناد است. در ادامه نتایج شبیه‌سازی جریان بر روی سرریز کلید پیانوی ارائه و تحلیل خواهد شد.

میان مدل عددی و آزمایشگاهی، استفاده گردید. بدین ترتیب براساس نتایج بدست آمده می‌توان نتیجه‌گیری کرد که نرم‌افزار FLOW_3D با دقت مناسبی قادر به شبیه‌سازی جریان سه‌بعدی بر روی سرریزهای کلید پیانوی

جدول ۵. مقادیر آمارهای مختلف به منظور مقایسه نتایج مدل عددی با داده‌های آزمایشگاهی.

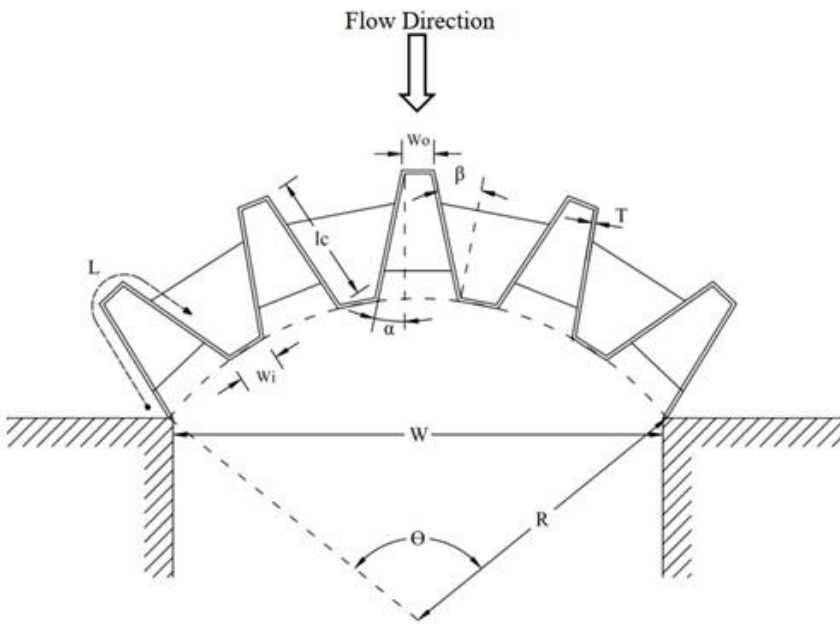
Table 5. The values of different statistics in order to compare the results of the numerical model with the laboratory data.

R2	MAE	RSME	عددی (RNG)				
			H	Q	H	Ht	Cd
۰/۹۷۳۰	۰/۰۰۴۶	۰/۰۰۵۱	۰/۰۶۴۰	۰/۰۴۳۳	۰/۰۴۷۸	۰/۰۳۵۲۷	
	Ht		۰/۱۰۰۰	۰/۰۶۵۴	۰/۰۷۴۵	۰/۰۲۸۳۳	
۰/۹۸۱۲	۰/۰۰۱۶	۰/۰۰۱۹	۰/۱۴۲۰	۰/۰۹۶۲	۰/۱۰۹۸	۰/۰۲۲۴۹	
	Cd		۰/۱۶۶۰	۰/۱۱۰۰	۰/۱۲۸۶	۰/۰۲۰۵۷	
۰/۹۸۳۸	۰/۰۰۷۵	۰/۰۰۸۰	۰/۲۰۱۰	۰/۱۳۴۰	۰/۱۵۸۰	۰/۰۱۸۸۰	

R2	MAE	RSME	عددی (LES)				
			H	Q	H	Ht	Cd
۰/۹۵۶۹	۰/۰۰۶۷	۰/۰۰۷۸	۰/۰۶۴۰	۰/۰۴۱۶	۰/۰۴۵۵	۰/۰۳۷۹۹	
	Ht		۰/۱۰۰۰	۰/۰۶۵۱	۰/۰۷۳۲	۰/۰۲۹۱۲	
۰/۹۷۶۰	۰/۰۰۱۵	۰/۰۰۲۰	۰/۱۴۲۰	۰/۰۹۵۹	۰/۱۰۸۷	۰/۰۲۲۸۴	
	Cd		۰/۱۶۶۰	۰/۱۰۸۰	۰/۱۲۶۴	۰/۰۲۱۲۹	
۰/۹۷۴۹	۰/۰۰۶۵	۰/۰۰۹۱	۰/۲۰۱۰	۰/۱۲۸۰	۰/۱۵۰۹	۰/۰۱۹۷۹	

پنهانی سرریز در مدل‌های ارائه شده ضروری است همچنین باید توجه داشت افزایش بیش از حد طول سرریز ممکن است از نظر اقتصادی به صرفه نباشد. لذا می‌توان نتیجه گرفت در بین مدل‌های سرریز ارائه شده توسط هر محقق (با فرض ثابت بودن تمامی پارامترهای هندسی برای همه مدل‌ها) سرریزی برتر است که بتواند بیشترین دبی را در کمترین هد جریان و در کمترین طول سرریز ممکن از خود عبور دهد. به طور کلی اگر یکتابع چند متغیره مانند $(x, y, z) u$ داشته باشیم که به متغیرهای x, y و z وابسته باشد، اگر در نقطه‌ی خاصی مانند $(x_0, y_0, z_0) u$ بخواهیم تغییرات تابع را بررسی کنیم، بر طبق ریاضیات از گرادیان به گونه‌ای استفاده می‌شود که اولین ترم تغییرات u را فقط نسبت به x ، دومین ترم تغییرات نسبت به y و سومین ترم تغییرات را تابع را تعیین نمود. مطابق آنچه که گفته شد، بدیهی است که می‌توان خود تابع را تعیین نمود. مطابق آنچه که گفته شد، بدیهی است که در مقام مقایسه‌ی تاثیر یک پارامتر هندسی در مدل‌های مختلف لازم است

۳-۳- شبیه‌سازی‌های جدید برروی سرریز کلیدپیانویی به منظور افزایش کارایی سرریزها، همانطور که در تحقیقات گذشته اشاره شد، راهکارهای گوناگونی وجود دارد که سه مورد از مهم‌ترین این راهکارها عبارتند از: افزایش پنهانی سرریز (W): به دلیل محدودیتی که از نظر فضا وجود دارد در بیشتر موارد قابل استفاده نیست. کاهش رقوم تاج سرریز (P): این اقدام باعث کاهش ظرفیت مخزن سد شده بنابراین با اهداف ساخت مخازن بزرگ‌ترسازگار نمی‌باشد. افزایش طول تاج سرریز (L): در یک پنهانی مشخص و سطح استقرار ثابت تکیه گاه با جایگزین کردن سرریزهای خطی با گونه‌های غیرخطی قابل اجرا هستند همچون سرریزهای کنگره‌ای و کلیدپیانویی. با توجه به موارد ذکر شده در بالا به نظر می‌آید جهت بررسی پارامترهای هندسی موثر بر عملکرد هیدرولیکی سرریزها، اقدام به ثابت نگه داشتن



شکل ۶. پارامترهای هندسی سرریز کلید پیانویی انحنادار در پلان.

Fig. 6. Geometrical parameters of arced trapezoidal piano key weir (ATPKW) in plan.

در این قسمت با تغییر پارامترهای تعداد سیکل و زاویه سرریز، رفتار هیدرولیکی این نوع سرریز مورد مطالعه قرار گرفته است. سرریزها برای چهار زاویه مرکزی ۴۵، ۹۰، ۱۳۵ و ۱۸۰ درجه و تعداد سیکل ۲، ۳ و ۴ مدل‌سازی شده‌اند. لازم به ذکر است یکی از نقاط قوت و وجه تمایز تحقیق حاضر با سایر پژوهش‌های صورت گرفته در این زمینه، ثابت نگه داشتن تمامی پارامترهای موثر از جمله طول کلی سرریز (L) در تمامی مدل‌ها می‌باشد همچنین در تمامی مدل‌ها عرض سرریز (W) و ارتفاع تاج (P) ثابت هستند. از آنجا که هدف از تحقیق اثر تغییرات هم‌زمان تعداد سیکل و زاویه سرریز می‌باشد لذا مقایسه‌ی صحیح زمانی انجام می‌شود که اثر سایر پارامترهای موثر حذف شود. در ادامه‌ی پژوهش نتایج سرریز کلید پیانویی انحنادار با مدل‌های خطی آن که توسط اندرسون مورد تحقیق قرار گرفته است مقایسه گردیده است. در جدول ۷ مدل‌های مختلف و مقادیر پارامترهای هندسی آن‌ها ارائه شده است. شکل ۷ نمای سه‌بعدی سرریزها را نشان می‌دهد. لازم به ذکر است مخزن بالادست سرریزها به اندازه‌ای بزرگ در نظر گرفته شده است که مرازهای میدان تحت تاثیر جریان‌های نزدیک شونده به سرریز قرار نگیرند.

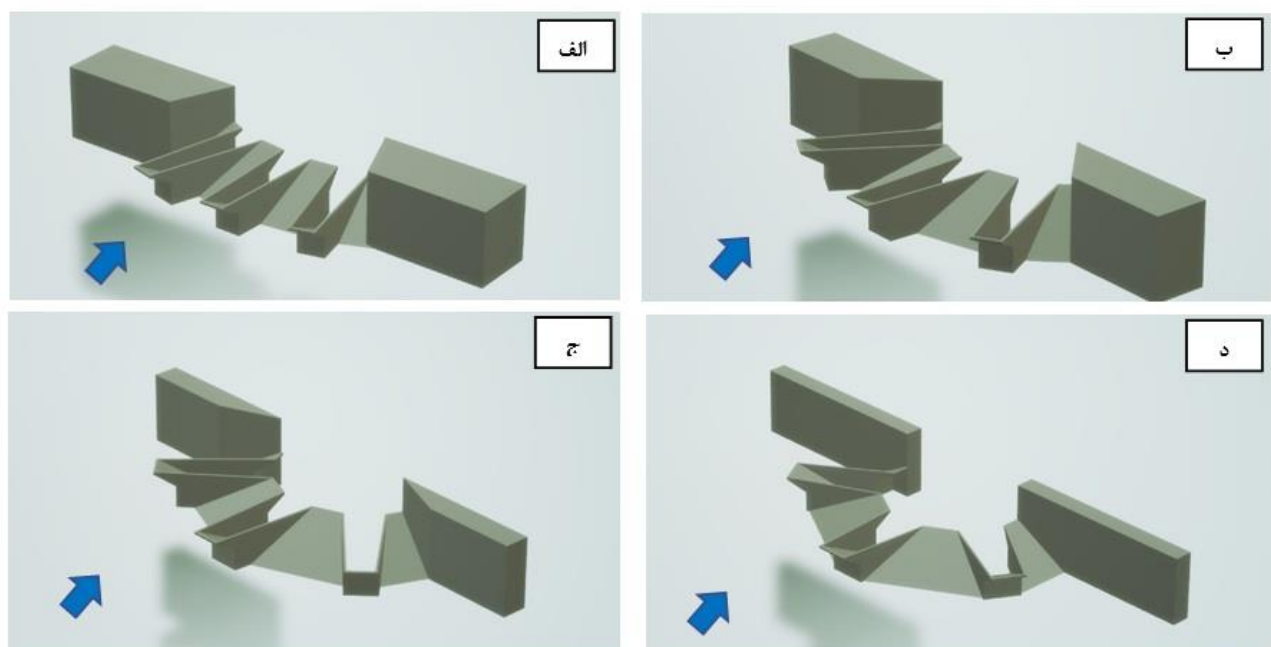
سایر پارامترها برای تمامی مدل‌ها ثابت در نظر گرفته شود به طور مثال اگر قرار است تأثیر پارامتر عرض کanal برای مقادیر مختلف و برای مدل‌های مختلف مورد بررسی قرار گیرد، برای درک بهتر تأثیر تغییرات پارامتر مذکور بهتر است سایر پارامترها از جمله ارتفاع سرریز، طول سرریز و ... در تمامی مدل‌ها ثابت در نظر گرفته شود در غیر اینصورت نمی‌توان با قطعیت در مورد مدل‌های اثربخشی این پارامتر نظر داد. پس از مطالعه‌ی پایان‌نامه‌ها و مقالات متعدد که هدف آن‌ها بررسی پارامترهای هندسی سرریز کلید پیانویی بود مشاهده شد که اکثر محققین نکات مطرح شده‌ی فوق را مد نظر قرار نداده و عملاً مقایسه‌ی برابری بین مدل‌های خود ایجاد نکرده‌اند که این امر می‌تواند روند تکاملی دستیابی به بهترین روش طراحی سرریزهای کلید پیانویی را دچار مشکل سازد.

با قرارگیری سرریز کلید پیانویی بر روی مسیر انحنادار، الزاماً کلیدها به صورت ذوزنقه‌ای تغییر شکل می‌دهند^[۷]. در شکل ۶ هندسه عمومی سرریز کلید پیانویی با پلان انحنادار نشان داده شده است همچنین جدول ۶ نشان دهنده‌ی پارامترهای مورد استفاده در شکل ۶ می‌باشد.

جدول ۶. پارامترهای مورد استفاده در هندسه‌ی سرریز.

Table 6. Parameters used in weir geometry.

توضیحات	نمان پارامتر
زاویه سرریز	θ
شعاع انحنای	R
زاویه کلید خروجی	α
زاویه کلید ورودی	β
عرض سرریز	W
عرض کلید ورودی	Wi
عرض کلید خروجی	Wo
طول کنسول کلید ورودی	Bi
طول کنسول کلید خروجی	Bo
طول تاج کناری	le
طول تاج سرریز	L
ضخامت دیواره سرریز	T
تعداد سیکل	N



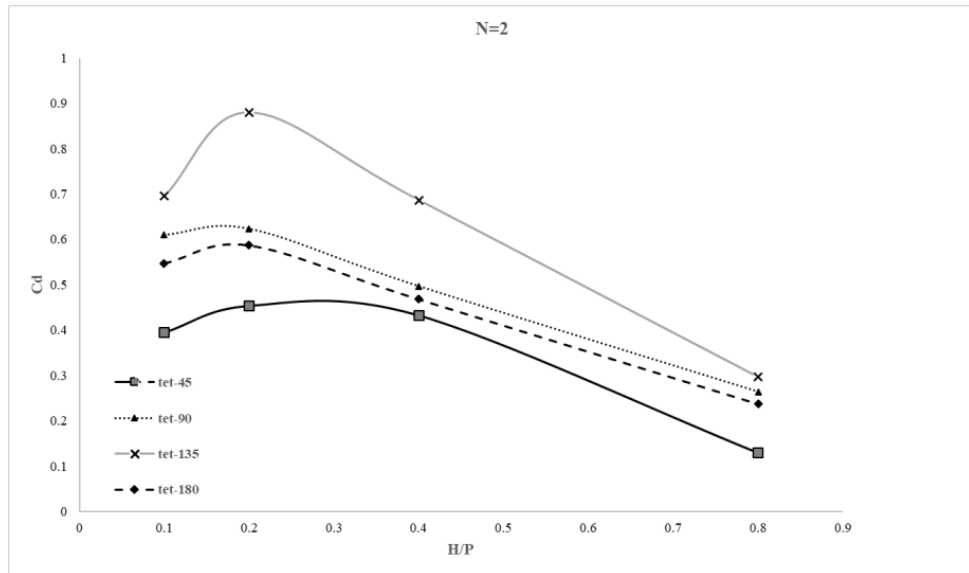
شکل ۷. نمای سه بعدی سرریزهای کلید پیانوی سه سیکل انحنادار در پلان a) ۴۵ درجه b) ۹۰ درجه c) ۱۳۵ درجه و d) ۱۸۰ درجه.

Fig. 7. Three-dimensional view ATPKWs with three cycles in plan a) 45 degrees b) 90 degrees c) 135 degrees and d) 180 degrees.

جدول ۷. پارامترهای هندسی سریز کلید پیانویی احتماد در پلان.

Table 7. Geometrical parameters ATPKWs.

کد مدل																		
زاویه سریز (degree)																		
تعداد سیکل ها																		
L/W	T	Bo	Bi	Bi/lc	β	α	So	Si	Wi/Wo	Wo	Wi	lc	W					
نسبت طول کنسول و دوری به طول تاج کناری	(iii)	طول کنسول و دوری (m)	ضخامت دیواره سریز (m)	طول کنسول خروجی (m)	نسبت طول کنسول و دوری به طول تاج کناری	زاویه کلید خروجی (degree)	شیب کف کلید خروجی (m)	شیب کف کلید خروجی (m)	نسبت عرض کلید و دوری به کلید خروجی	عرض کلید خروجی (m)	عرض کلید و دوری (m)	طول ناج کناری (m)	عرض سریز (m)	طول ناج (m)	ارتفاع ناج (m)	تعداد سیکل ها	زاویه سریز (degree)	کد مدل



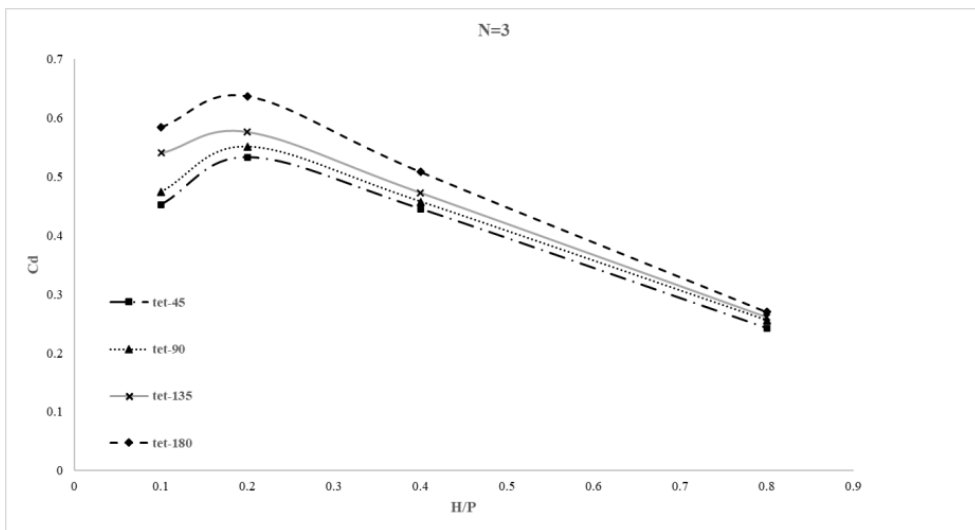
شکل ۸. مقایسه ضریب آبگذری سرریزهای با ۲ سیکل نسبت به H/P

Fig. 8. Comparison of discharge coefficient of weirs with 2 cycles and the same weir crest length

در پلان سرریز نسبت به سرریز کلید پیانویی خطی (مدل‌های اندرسون) باعث بهبود عملکرد هیدرولیکی سرریز شده است به نحوی که تاثیر انحنا برای هدهای پایین زیاد بوده و در هدهای بالا تفاوت قابل توجهی بین ضریب آبگذری سرریزهای انحنایدار و خطی وجود ندارد. همانطور که در شکل ۸ مشاهده می‌شود، افزایش زاویه‌ی سیکل سرریز تا حدی موجب افزایش ضریب عبوری جریان می‌شود (با توجه به منحنی ۱۳۵ درجه و ۴۵ درجه) اما با بیشتر شدن زاویه‌ی سیکل سرریز ضریب عبوری جریان کاهش می‌یابد (با توجه به منحنی ۱۸۰ درجه). با افزایش زاویه‌ی سرریز، در سیکل ثابت، مساحت کلید ورودی افزایش یافته و اثر کلی افت هد مربوط به ورود جریان به کلید ورودی کاهش یافته و در بی آن ظرفیت تخلیه‌ی جریان در کلید ورودی افزایش می‌یابد در عین حال باید توجه داشت که با بیشتر شدن زاویه‌ی سرریز از یک حد مشخص، به علت برخورد جریان‌های ریزشی از طرفین کلید ورودی و جریان عبوری از کلید خروجی و افزایش هد جریان در کلید خروجی، توانایی کلید خروجی در جمع‌آوری جریان‌های عبوری از کلید ورودی کاهش می‌یابد. مطالب بیان شده حاکی از وجود رابطه‌ای پیچیده بین زاویه سرریز و نحوه رفتار جریان عبوری از کلیدهای ورودی و خروجی می‌باشد. با توجه به شکل ۸، بیشترین اثر انحنای تاج برای نسبت هد کل به ارتفاع $1/2$ است به گونه‌ای که ضریب آبگذری از مقدار $1/42$ به مقدار $1/87$ افزایش یافته است.

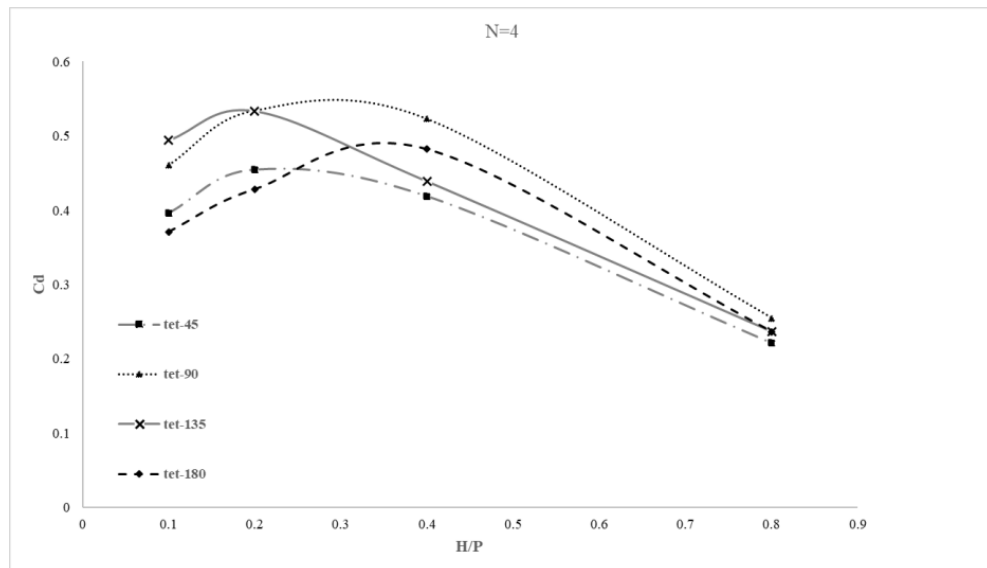
۴- نتایج و بحث

در قسمت‌های قبل، جریان بر روی سرریزهای کلید پیانویی ساده (مطابق مدل آزمایشگاهی اندرسون) مدل‌سازی عددی گردید و پس از بررسی جنبه‌های مختلف آن، مشخص گردید که بهترین روش به منظور افزایش ضریب عبوری جریان سرریز، تبدیل کلیدها از مستطیلی به ذوزنقه بوده که این حالت با انحنایدار کردن پلان قرارگیری کلیدها پدیدار می‌شود. در ادامه به مدل‌سازی عددی جریان بر روی سرریز کلید پیانویی با انحنا در پلان پرداخته شده و هیدرودینامیک سرریز مذکور مورد بررسی قرار گرفته است. شکل ۸ بیانگر تغییرات ضریب دبی به نسبت هد کل به ارتفاع سرریزهای کلید پیانویی انحنایدار در پلان برای زوایای مختلف مجموعه سرریز به ازای تعداد سیکل دو می‌باشد و اشکال ۹ و ۱۰ هم به همین ترتیب برای تعداد سه و چهار سیکل می‌باشد. در تمامی سرریزها طول تاج برابر است. همانطور که در شکل ۸ مشاهده می‌شود، سرریز با زاویه ۱۳۵ درجه و دو سیکل عملکرد بهتری نسبت به سایر سرریزها دارد به گونه‌ای که مقدار ضریب عبوردهی جریان برای این سرریز برابر $1/87$ می‌باشد از طرفی با افزایش زاویه‌ی سرریز در یک سیکل ثابت روند تغییرات ضریب عبوردهی جریان تا زاویه‌ی 135 درجه صعودی بوده و از آن به بعد روند نزولی دارد، همچنین از شکل ۸ می‌توان دریافت که بیشترین ضریب عبوردهی جریان در نسبت هد کل به ارتفاع سرریز برابر $1/2$ رخ می‌دهد. با توجه به شکل ۱۱، ایجاد انحنا



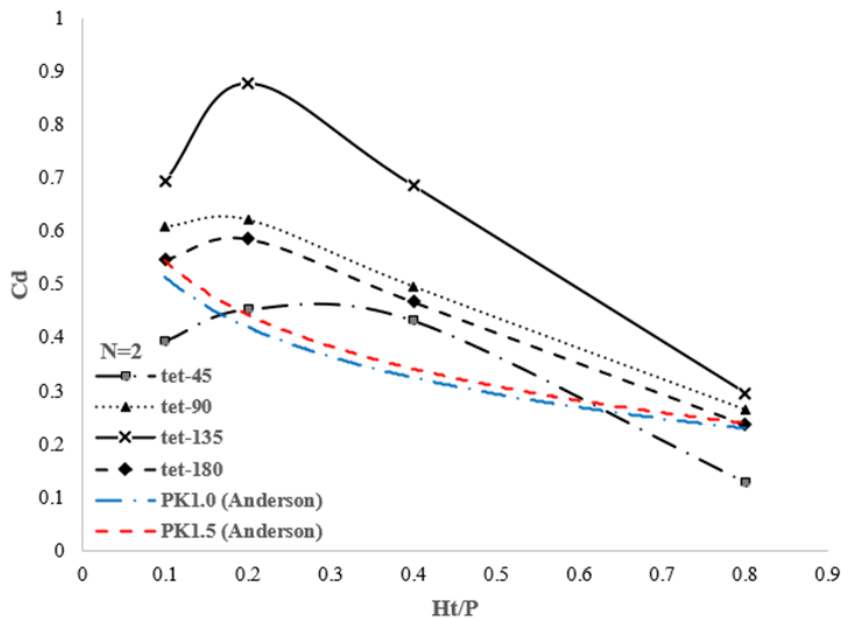
شکل ۹. مقایسه ضریب آبگذری سرریزهای با ۳ سیکل نسبت به H/P .

Fig. 9. Comparison of discharge coefficient of weirs with 3 cycles and the same weir crest length.



شکل ۱۰. مقایسه ضریب آبگذری سرریزهای با ۴ سیکل نسبت به H/P .

Fig. 10. Comparison of the water passage coefficient of weirs with 4 cycles and the same weir crest length.



شکل ۱۱. مقایسه ضریب آبگذری سرریزهای موجود تحقیق حاضر و نمونه سرریزهای کلید پیانویی خطی اندرسون.

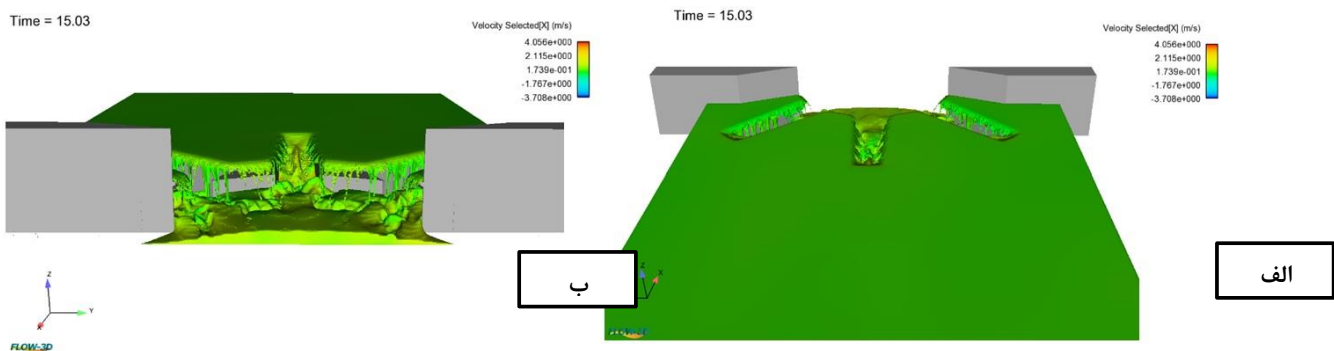
Fig. 11. Comparison of discharge coefficient of the weirs of the present research and the samples of Anderson's linear PKWs.

نحوی طول موثر سرریز را کاهش داده و موجب کاهش عملکرد هیدرولیکی سرریز همچنین کاهش ضریب عبور جریان نیز می‌گردد. شکل ۱۴ به خوبی نحوه افزایش استغراق موضعی کلید خروجی مناسب با افزایش هد جریان نشان می‌دهد. پارامتر نشان‌دهنده‌ی پیشرفت استغراق موضعی در شکل نشان می‌دهد. پارامتر نشان‌دهنده‌ی افزایش هد جریان با F نشان داده می‌شود. مذکور، شکستگی جریان^۱ نام دارد که به اختصار با F سلول شبکه، تکنیک حجم مایع^۲ (VOF) بر اساس این ایده است که در هر سلول شبکه، بخش کسری از حجم سلول که توسط مایع اشغال شده است، ثبت شود. از آنجا که حجم کسری است، F باید مقداری بین ۰ و ۱ داشته باشد. در مناطق داخلی مایع، مقدار F برابر ۱ خواهد بود، در حالی که در خارج از مایع، در مناطق گاز (به عنوان مثال هوا)، مقدار F صفر است. همانطور که قبلاً اشاره شد، استغراق موضعی زمانی رخ می‌دهد که جریان عبوری از کلید خروجی با جریان‌های عبوری از تاج کناری کلیدها برخورد می‌کند.

اشکال ۱۲ الی ۱۴ نشان دهنده‌ی الگوی سه بعدی جریان از زوایای مختلف بر روی سرریز ۳-ATPK135 به ازای هدهای مختلف می‌باشند. در هدهای پایین، بخش عمده‌ی جریان از کلیدهای خروجی تخلیه شده و همچنین در جریان نزدیک‌شونده به سرریز، سطح آب حالت افقی داشته و افتی در آن مشاهده نمی‌شود. با افزایش هد آب بر روی سرریز، کلیدهای خروجی مستغرق شده و همانطور که در شکل ۱۳ نشان داده شده است، با افزایش حجم جریان عبوری از روی کلیدهای کناری، سرعت جریان نیز افزایش یافته و جریان ریزشی در ترازهای بالاتر به هم برخورد می‌کنند. نتیجه‌ی برخورد جریان‌های ریزشی طرفین، بالازدگی سطح آب در لایه‌های فوقانی داخل کلیدهای خروجی و شکل‌گیری استغراق موضعی شدید در نواحی مذکور می‌باشد. با توجه به شکل ۱۴ شکل‌گیری استغراق موضعی باعث کاهش عرض عبوری جریان در کلید خروجی شده و جریان عبوری از کلید خروجی، صرفاً از طرفین تلاقی جریان‌های ریزشی در داخل کلید خروجی عبور می‌کند. لازم به ذکر است که پدیده‌ی استغراق موضعی به

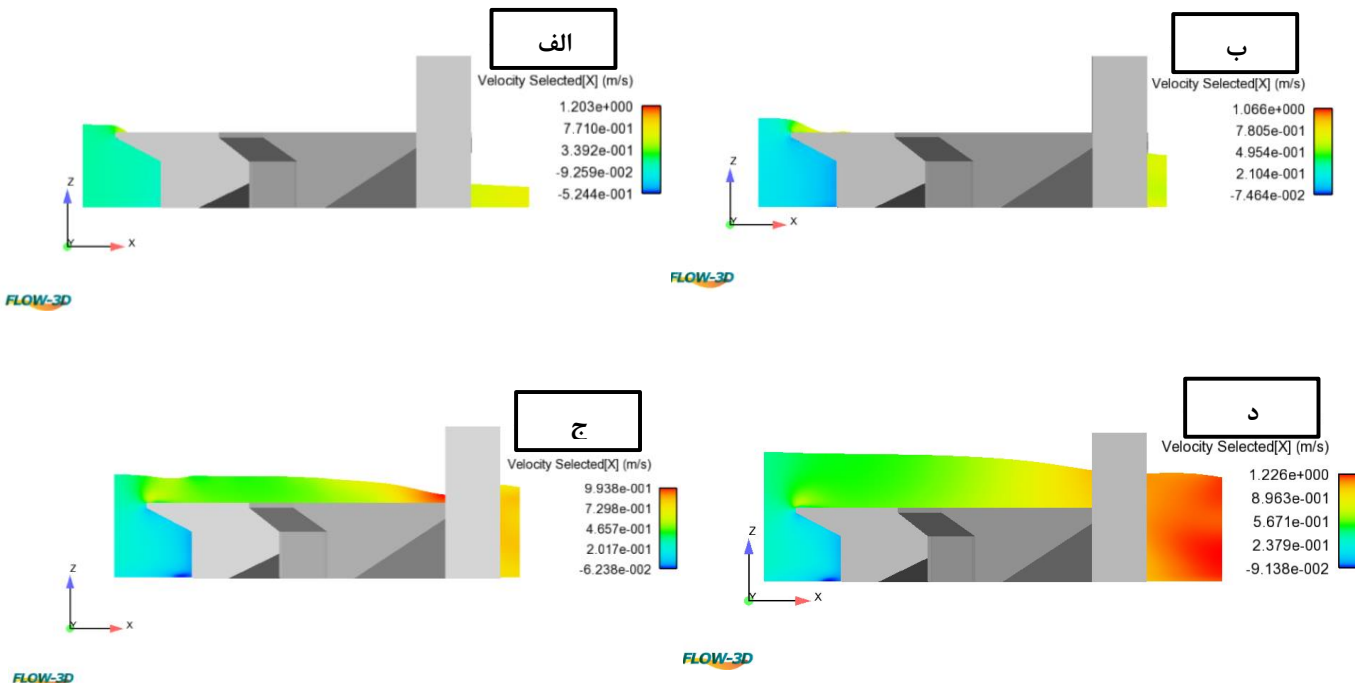
1 Fluid Fraction

2 volume of fluid



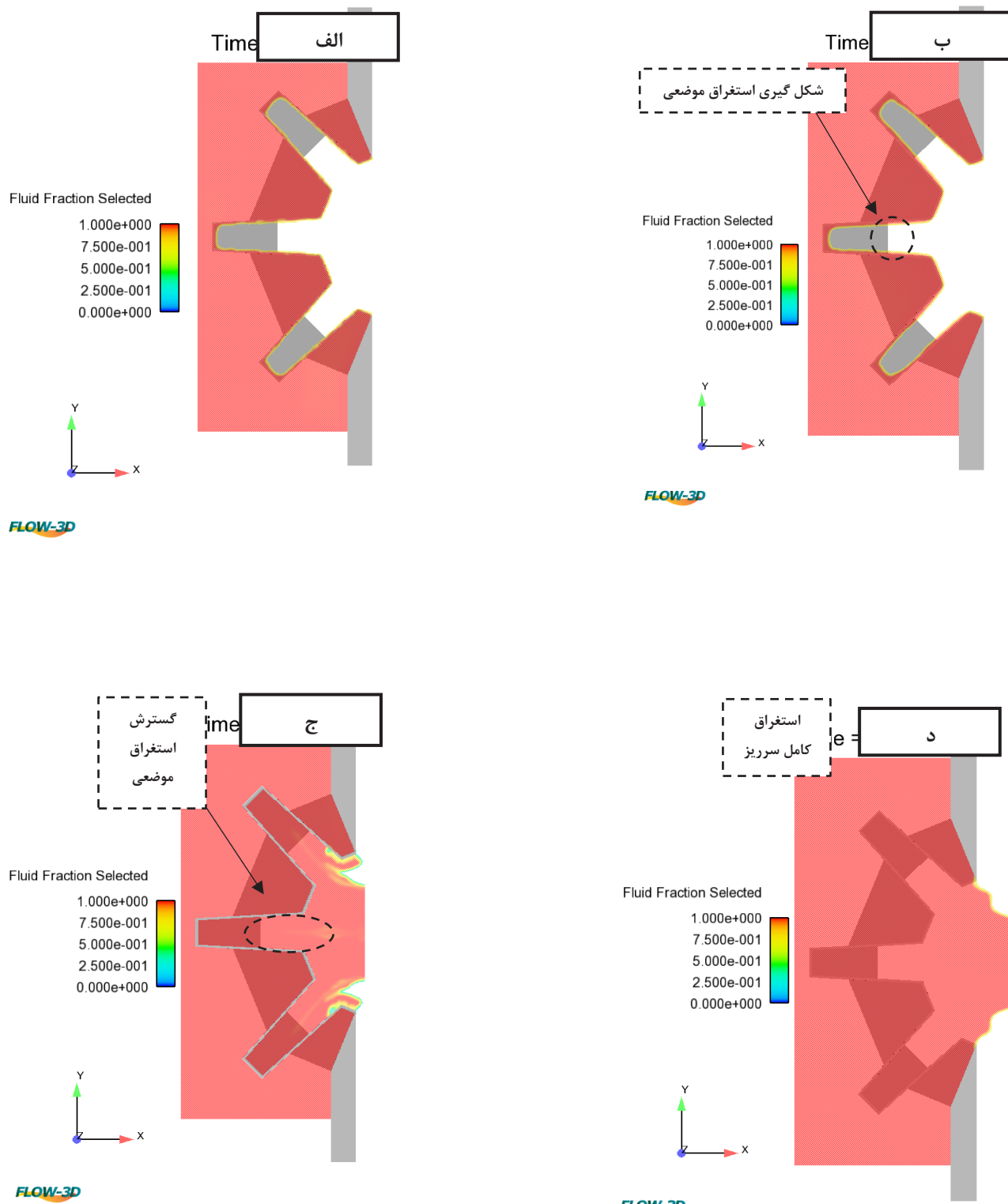
شکل ۱۲. الگوی سه بعدی ریزشی آزاد جریان سرریز ۳-۱۳۵ ATPK در از نمای بالادست سرریز (الف) دید از نمای پایین دست سرریز (ب)

Fig. 12. 3D pattern of free flow and view from the ATPK 135-3 weir at $H/P = 0.1$.



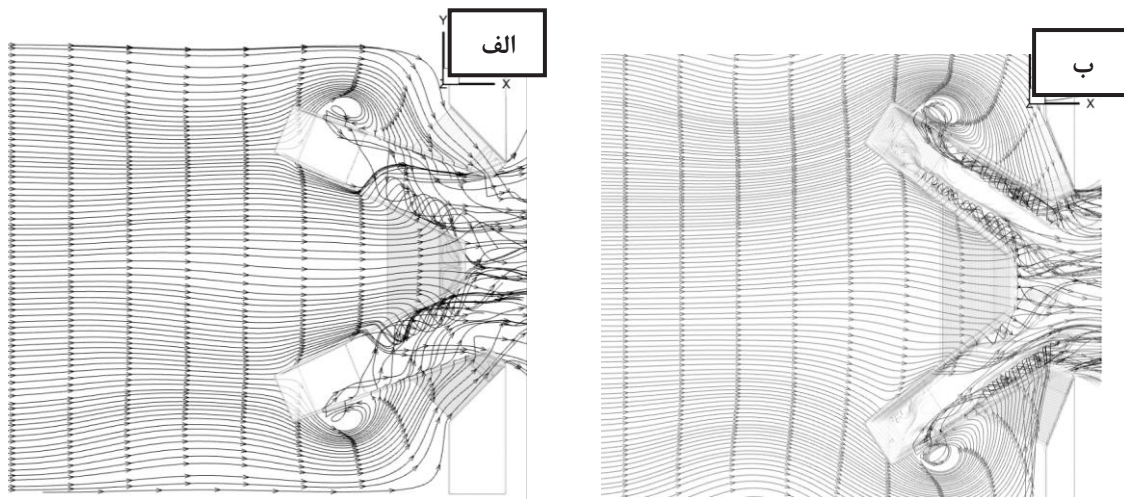
شکل ۱۳. الگوی دوبعدی جریان در صفحه‌ی X-Z به ازای هدهای مختلف، (الف، ب) $H/P = 0.1$ ، (ج) $H/P = 0.2$ ، (د) $H/P = 0.4$ ، (ه) $H/P = 0.8$

Fig. 13. Two-dimensional flow pattern in the X-Z plane for different heads a) $H/P=0.1$ b) $H/P=0.2$ c) $H/P=0.4$ d) $H/P=0.8$.



شکل ۱۴. نحوه افزایش استغراق موضعی کلید خروجی در سوربیز ۳-۱۳۵ ATPK متناسب با افزایش هد جریان، (الف) $H/P = 0.1$ ، (ب) $H/P = 0.2$ ، (ج) $H/P = 0.4$ ، (د) $H/P = 0.8$

Fig. 14. How to increase the local submergence of the outlet key in ATPK-135-3 weir according to the increase of the flow head a) $H/P=0.1$ b) $H/P=0.2$ c) $H/P=0.4$ d) $H/P = 0.8$.



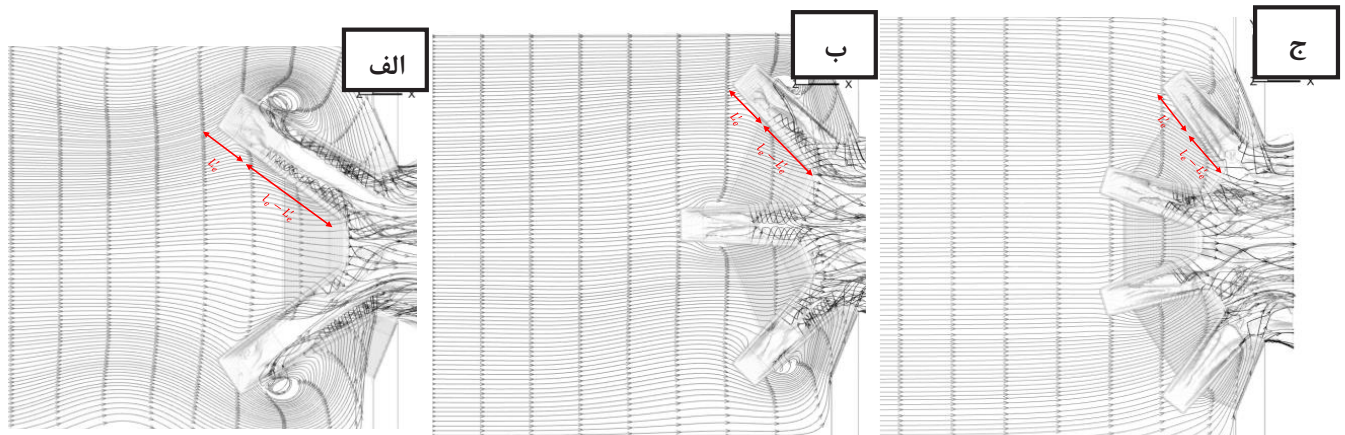
شکل ۱۵. خطوط جریان عبور لایه‌ی تحتانی از سرریز (الف) ATPK 45-2، (ب) ATPK 135-2

Fig. 15. stream lines of the lower layer of the weir a) ATPK45-2 b) ATPK135-2.

با فشردگی بیشتر بر روی تاج‌های کناری کلیدهای ورودی شکل می‌گیرد که این مسئله موجب برخورد جریان‌های ریزشی از تاج‌های کناری شده و موج پسزدگی جریان همچنین افزایش هد بالادست می‌گردد. شکل ۱۷ خطوط جریان نزدیک شونده لایه‌ی میانی را برای سرریزهای کلید پیانوی با زاویه سیکل قوسی ۱۳۵ درجه و در سیکل‌های مختلف نشان می‌دهد. لایه‌های فوقانی جریان تمایل به عبور از کلید خروجی دارند اما همانطور که در شکل ۱۷ ملاحظه می‌گردد، با افزایش سیکل و مخصوصاً در سیکل‌های ۳ و ۴، خطوط جریان از ظرفیت کلید خروجی استفاده می‌نمایند در حالی که در سیکل ۲، با توجه به مساحت آبگیری بیشتر کلید ورودی، خطوط جریان به خوبی از ظرفیت تاج‌های کناری کلید ورودی استفاده کرده و ظرفیت کلید خروجی را برای جریان‌های لایه‌های بالاتر نگه می‌دارد. شکل ۱۸ توزیع سرعت جریان (در لایه‌ی فوقانی جریان و در زیر تاج) در کلید ورودی برای سرریز با زاویه ۱۳۵ درجه و به ازای $H/P = 0.4$ را نشان می‌دهد. همانطور که ملاحظه می‌گردد، در سیکل دوم، توزیع سرعت به صورت یکنواخت‌تر بوده به گونه‌ای که خطوط جریان تقریباً به طور عمود از تاج کناری عبوری می‌نمایند و به خوبی از تمامی ظرفیت تاج کناری استفاده می‌گردد همچنین دلیل اصلی توزیع یکنواخت‌تر سرعت در سیکل دوم، افزایش سطح آبگیر کلید ورودی در سیکل دوم بوده که این پدیده موجب کاهش اینرسی جریان در امتداد کلید ورودی و ایجاد شرایط بهتر تخلیه جریان در تاج‌های کناری می‌شود.

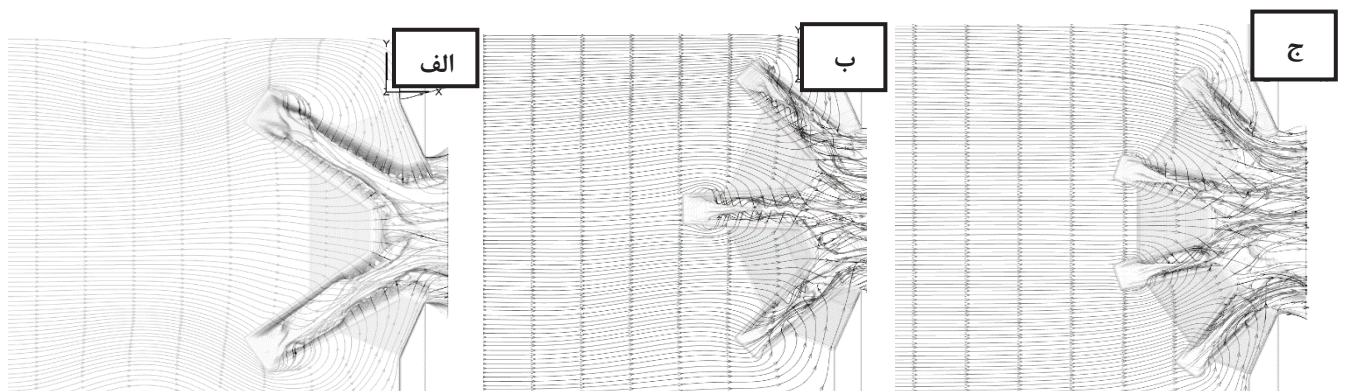
شکل ۱۵ نشان‌دهندهٔ خطوط جریان در ترازهای تحتانی و میانی سرریزهای می‌شود، در سرریزهای مذکور جریان‌های تحتانی پس از رسیدن به کلید ورودی به صورت یکنواخت بر روی تاج‌های کناری و ورودی توزیع شده که البته توزیع جریان بهتری برای سرریز ۲-۱۳۵ ATPK135-2 قابل مشاهده می‌باشد. در خصوص جریان‌های نزدیک شونده به کلیدهای کناری برای سرریزهای مذکور، همانطور که مشاهده می‌شود جریان با توزیع بسیاری مناسبی از کلید ورودی عبور می‌نماید اما بعضی از خطوط جریان نزدیک شونده به کلید مرکزی، به سمت کلیدهای کناری کشیده شده و به سمت لایه‌های فوقانی تغییر مسیر می‌دهند و سپس از تاج کناری کلیدهای طرفین سرریز عبور می‌کند. در این نواحی سرعت جریان کم شده و جریان دچار چرخش مجدد^۱ می‌شود. یکی از دلایل این امر کناره‌های زاویه دار پایه‌های سرریز و فاصله‌ی ایجاد شده میان سطح شبیه‌دار و محل انتقال جریان از سرریز به کلید ورودی می‌باشد. ایجاد ناحیه‌ی چرخش مجدد در کلید ورودی، مخزن به کلید ورودی می‌باشد. ایجاد ناحیه‌ی چرخش مجدد در کلید ورودی، موجب کاهش عرض موثر عبوری جریان در کلید ورودی می‌گردد. شکل ۱۶ خطوط جریان لایه‌ی تحتانی را برای سرریزهای کلید پیانوی با زاویه سیکل قوسی ۱۳۵ درجه و در سیکل‌های مختلف نشان می‌دهد. همانطور که ملاحظه می‌گردد، با افزایش تعداد سیکل (در یک زاویه و طول سرریز ثابت)، خطوط جریان در کلید ورودی منقبض‌تر شده و توزیع خطوط جریان

1 Recirculation zone



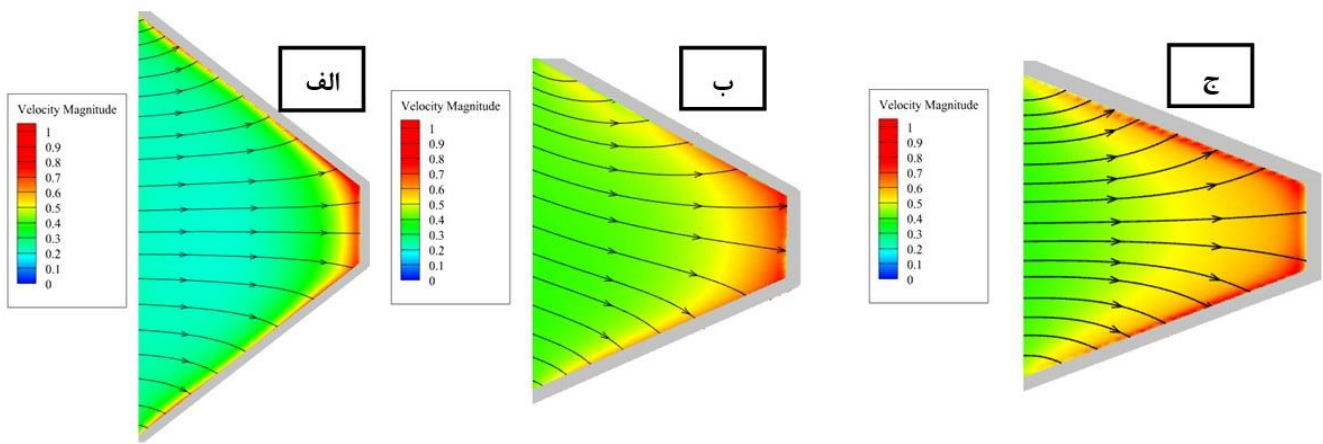
شکل ۱۶. خطوط جریان عبوری لایه‌ی تحتانی در سرریزهای کلید پیانوی با زاویه ۱۳۵ درجه و تعداد سیکل‌های الف) دو، ب) سه، ج) چهار.

Fig. 16. stream lines of the lower layer in the overflows of the ATPKW with an angle of 135 degrees and the number of cycles a) two b) three c) four.



شکل ۱۷. خطوط جریان عبوری لایه‌ی میانی در سرریزهای کلید پیانوی با زاویه ۱۳۵ درجه و تعداد سیکل‌های مختلف الف) ۲ سیکل، ب) ۳ سیکل، ج) ۴ سیکل.

Fig. 17. The stream lines of the middle layer in the overflows of the ATPKW with an angle of 135 degrees and the number of cycles a) two b) three c) four.

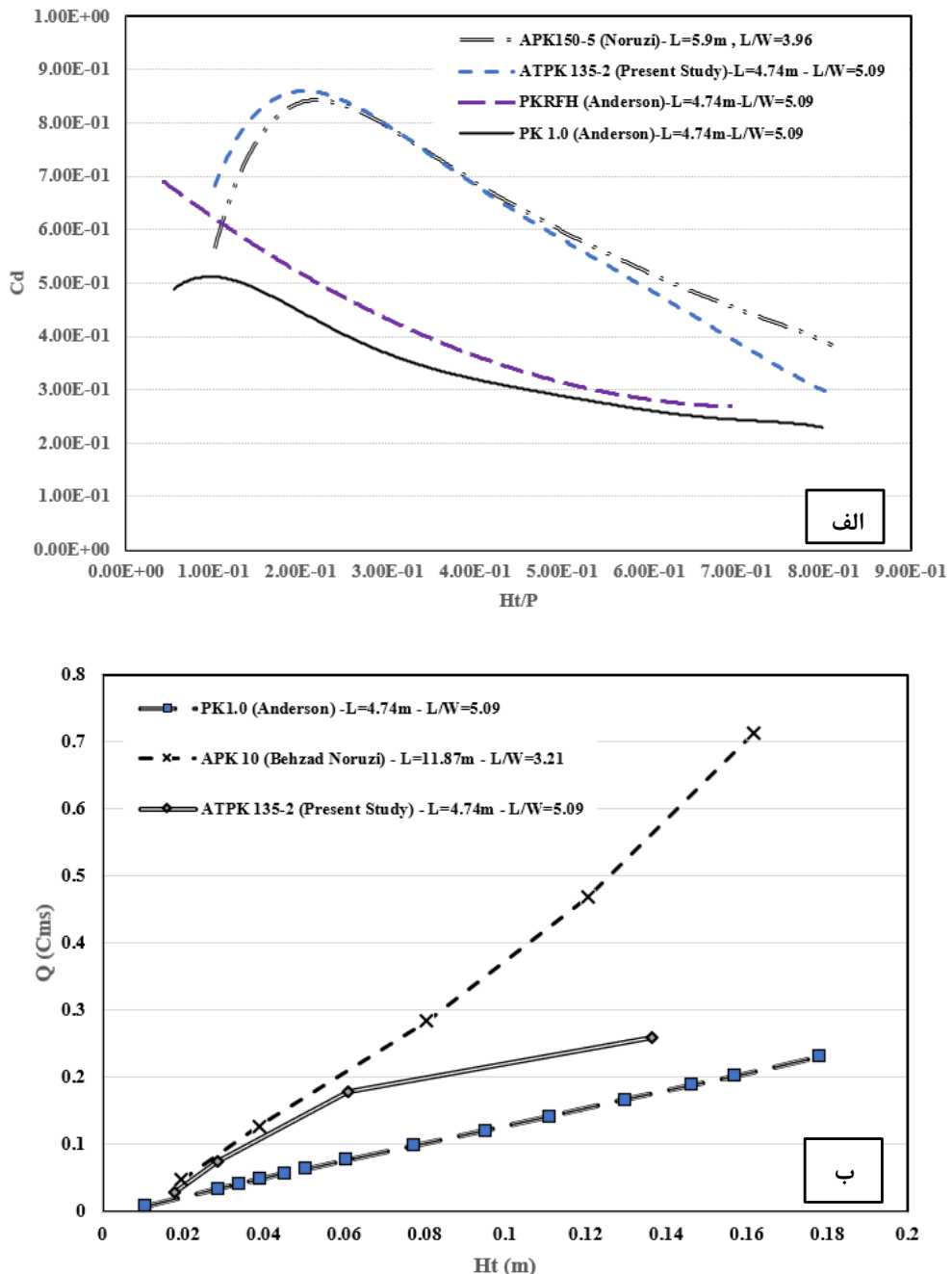


شکل ۱۸. توزیع سرعت جریان لایه‌ی فوقانی (زیر تاج) در کلید ورودی به ازای $\theta = 45^\circ$ برای سرریز با زاویه ۱۳۵ درجه (الف) تعداد سیکل دو (ب) تعداد سیکل سه (ج) تعداد سیکل چهار.

Fig. 18. Distribution of the flow velocity of the upper layer (under the crown) in the inlet key for $H/P = 0.4$ for the overflow with an angle of 135 degrees a) Two cycles b) three cycles c) four cycles.

همانطور که در منحنی دبی-اصل مشاهده می‌شود، برای سرریز APK10 نوروزی (که شامل ۱۰ سیکل بوده و طول کلی سرریز برابر $11/87$ متر می‌باشد و عملاً دارای برتری ابعادی نسبت به سایر سرریزها در نمودار مذکور است) دبی عبوری از روی سرریز افزایش یافته و همچنین برای هدهای بالاتر نیز این روند کاملاً صعودی بوده و شدت حجمی جریان عبوری از روی سرریز با شبیه تندتری افزایش می‌یابد. برای سرریز ATPK135-2 نیز دبی عبوری از روی سرریز صعودی می‌باشد اما در هدهای بالاتر نیز شدت حجمی جریان عبوری از روی سرریز با شبیه کندتری ادامه می‌یابد اما برای سرریز PK1.0 اندرسون با افزایش هد جریان شدت حجمی جریان عبوری نسبت به سایر سرریز کمتر بوده اما با نرخ ثابتی ادامه می‌یابد. از نمودار دبی-اصل سرریزهای مذکور می‌توان دریافت که، افزایش شبیه شدت حجمی جریان عبوری از روی سرریز بیانگر افزایش ناحیه استغراق موضعی در کلیدهای خروجی سرریز بوده و موجب کاهش راندمان هیدرولیکی سرریز می‌شود و عملاً هرچه شبیه شدت حجمی جریان عبوری از روی سرریز بیشتر باشد، سرریز عملکرد خود را زودتر از دست می‌دهد. یکی از اهداف طراحی سرریزها، باید دستیابی به بهترین نتیجه با صرف کمترین هزینه باشد که مشخص گردید پدیده استغراق موضعی می‌تواند این اصل را در طراحی‌ها دچار مشکل کرده و هزینه‌های مضاعفی را به سازنده و طراح تحمیل کند.

شکل ۱۹ نشان‌دهنده‌ی تغییرات ضریب دبی سرریزهای کلید پیانویی PK1.0 مورد تحقیق بهزاد نوروزی، توماس اندرسون، تحقیق حاضر و سرریز ۰.۴ (که به صورت خطی می‌باشد) در مقابل هد کل به ارتفاع سرریز و منحنی دبی-اصل می‌باشد. همانطور که ملاحظه می‌گردد، سرریز ۰.۴-۲ ATPK135-2 و سرریز ۰.۵-۵ APK150 دارای ضریب آبگذری بیشتر نسبت به سرریزهای کلید پیانویی خطی آرمایش شده توسط اندرسون بوده و این در حالتی است که طول کل سرریز ۰.۷-۲ ATPK135-2 متر، سرریز ۰.۵-۵ APK150-۵ برابر $4/7$ متر، سرریز ۰.۶-۷ PKRFH برابر $4/7$ متر و سرریز ۰.۷-۰ PK1.0 برابر $5/9$ متر، سرریز ۰.۷-۹ PK1.0 برابر $4/7$ متر و سرریز ۰.۷-۹ PKRFH برابر $4/7$ متر می‌باشد. لازم به ذکر است سایر پارامترهای هندسی از جمله ارتفاع تاج (P)، ضخامت دیواره (T) و عرض دهانه‌ی ساختگاه سرریز (W) ... برای تمامی سرریزهای مذکور به جز سرریز ۰.۵-۵ APK150-۵ ارائه شده توسط نوروزی برابر است. برای سرریز ۰.۵-۵ APK150-۵ عرض ساختگاه سرریز (W) برابر $1/49$ متر و برای سایر سرریزهای مذکور برابر $9/3$ متر می‌باشد. آنچه که از مطالب بیان شده در خصوص سرریزهای مورد مقایسه حاصل می‌گردد این است که، سرریز ۰.۵-۵ APK150-۵ از نظر هندسی دارای برتری نسبت به سایر سرریزها بوده و انتظار می‌رود عملکرد هیدرولیکی بهتری را داشته باشد که البته اینگونه نیست. سرریز ۰.۷-۲ ATPK135-2 با حداقل طول کل سرریز توانسته است ضریب آبگذری بیشتری نسبت به سرریز ۰.۷-۵ APK150-۵ کسب کند که این امر نشان‌دهنده‌ی اهمیت اثرات استغراق موضعی شکل گرفته در کلید خروجی برای سرریزهای کلید پیانویی است.



شکل ۱۹. (الف) تغییرات ضریب دبی سرریزهای کلید پیانویی مورد تحقیق بهزاد نوروزی، توماس اندرسون، تحقیق حاضر و سرریز (که به صورت خطی می‌باشد) در مقابل هد کل به ارتفاع سرریز، (ب) منحنی اشل-دبی سرریزهای موضوع بحث.

Fig. 19. (a) Head-Discharge curve of the weirs discussion topic (b) Changes in the discharge coefficient of ATP-KWs researched by B.Norozi [6], R.M.Anderson [3], present research and PK1.0 Weir (which is linear) against the head to the height of the weirs.

مطروح گردید، سرریز ۵ APK150-۵ (مورد بررسی توسط بهزاد نوروزی) با اینکه دارای برتری هندسی (طول کل سرریزو عرض ساختگاه بزرگتر) نسبت به سرریز ۲-۲ ATPK135 (مدل برتر تحقیق حاضر) بود ولی دارای عملکرد هیدرولیکی ضعیفتری نسبت به سرریز ۲ ATPK135-۲ نیز می‌باشد.

۶- فهرست علائم

علائم انگلیسی	A
مساحت، m^2	
سطح مقطع جریان در راستای محور X	A_x
سطح مقطع جریان در راستای محور Y	A_y
سطح مقطع جریان در راستای محور Z	A_z
طول طره کلید ورودی (پایین دست چرخه جریان)، m	B_i
طول طره کلید ورودی (بالا دست چرخه جریان)، m	B_o
ضریب آبگذری جریان	Cd
مدول الاستیسیته، N/m^2	E
مولفه های شتاب لرخت	Fx, Fy, Fz
ترم های شتاب جرم	Gx, Gy, Gz
شتاب نقل، m/s^2	g
هد سرعت، m	Ha
هد کل (هد پیزومتریک به علاوه هد سرعت)، m	H_t
هد پیزومتریک، m	H
طول سرریز، m	L
تعداد چرخه های سرریز (تعداد سیکل)	N
فشار	P
ارتفاع سرریز، m	P
ارتفاع تاج سرریز تا محل برخورد شیب کف کلید ورودی و خروجی، m	P_i, P_m
دبی جریان، m^3/s	Q
دبی جریان در واحد عرض کanal، m^2/s	q
عدد رینولدز جریان	Re
شیب کف کلید ورودی سرریز	S_i
شیب کف کلید خروجی سرریز	S_o
ضخامت دیوارها، m	T_s
دمای سیال	T
سرعت جریان سیال، m/s	V
سرعت جریان در راستای محور X	V_x
سرعت جریان در راستای محور Y	V_y
سرعت جریان در راستای محور Z	V_z
عرض کلید ورودی، m	W_i
عرض کلید خروجی، m	W_o
عرض کل سرریز، m	W
عمق جریان نسبت به کف کanal، m	Z
زاویه داخلی کنگره با افق	α
ابعاد سلول	$\delta x, \delta y, \delta z$
گام زمانی	δt

۵- نتیجه گیری

هدف از انجام تحقیق حاضر، دستیابی به بهترین هندسه‌ی سرریز کلید پیانوی غیرخطی با توجه به صرف کمترین هزینه (حداقل طول کل سرریز) می‌باشد. به همین منظور سرریزهایی در زوایا و سیکل‌های مختلف و در عین حال با طول کل سرریز و عرض ساختگاه ثابت (برای تمامی مدل‌ها) مدل و شبیه‌سازی گردید و نتایج حاصل شده به شرح زیر می‌باشد:

۱- مدل سازی سه‌بعدی و عددی جریان بر روی سرریز کلیدپیانوی (آزمایش شده توسط اندرسون) و مقایسه‌ی نتایج به دست آمده با داده‌های آزمایشگاهی نشان داد که نرم افزار Flow_3D قابلیت شبیه‌سازی جریان‌های سطح آزاد و همچنین پیش‌بینی هیدرولیک مسائل مربوط به سازه‌های هیدرولیکی را نیز دارد.

۲- مقایسه‌ی عملکرد سرریزهای کلید پیانوی خطی و غیرخطی نشان داد که به طور کلی ضریب عبوردهی جریان سرریزهای کلیدپیانوی غیرخطی (انحنایار در پلان) بیشتر از سرریزهای کلیدپیانوی خطی بوده و در هدهای بالا به علت استغراق کل مجموعه، تفاوت چندانی در عملکرد هیدرولیکی سرریزهای مذکور مشاهده نمی‌شود.

۳- انحنایار کردن مجموعه‌ی سرریز موجب تغییر شکل کلیدها از حالت مستطیلی به ذوزنقه شده و این امر موجب توزیع یکنواخت خطوط جریان، کاهش فشردگی خطوط جریان و توزیع مناسب سرعت جریان در امتداد تاج کناری کلیدهای ورودی می‌گردد.

۴- به طور کلی، افزایش زاویه‌ی سرریز کلید پیانوی در یک طول ثابت برای تمامی مدل‌ها موجب افزایش ضریب عبوردهی جریان شده اما برعکس با افزایش تعداد سیکل در یک طول ثابت برای تمامی مدل‌ها به دلیل کاهش مساحت آبگیر کلید ورودی، افزایش انقباض خطوط جریان و در پی آن تشديد استغراق موضعی در کلید خروجی، ضریب عبوردهی جریان کاهش چشم‌گیری خواهد داشت.

۵- در بین تمامی سرریزهای مدل‌سازی شده در تحقیق حاضر، سرریز ATPK135-2 به عنوان مدل برتر شناخته شده و توانسته ضریب عبوردهی جریان را نسبت به حالت خطی سرریز کلید پیانوی PK1.0 به میزان ۴۷ درصد افزایش دهد.

۶- در بررسی اثرات تغییرات هم‌مان زاویه سرریز و تعداد سیکل باید به صرفه اقتصادی طرح توجه داشت زیرا در تحقیق حاضر مشخص گردید لزوماً افزایش طول کل سرریز، تعداد سیکل و زاویه سرریز نمی‌تواند منجر به دستیابی ضریب عبوردهی جریان بالایی گردد چرا که در بخش‌های قبل

منابع

- [8] B. Crookston, R.M. Anderson, B. Tullis, Free-flow Discharge Estimation Method for Piano Key Weir Geometries, *Journal of Hydro-environment Research*, 19 (2018) 160-167.
- [9] X. Guo, Z. Liu, T. Wang, H. Fu, J. Li, Q. Xia, Y. Guo, Discharge capacity evaluation and hydraulic design of a piano key weir, *Water Supply*, 19(3) (2019) 871-878.
- [10] M.K. Chahartaghi, S. Nazari, M.M. Shooshtari, Experimental and numerical simulation of arced trapezoidal piano key weirs, *Flow Measurement and Instrumentation*, 68 (2019) 101576.
- [11] A. Yousif, Experimental Investigation On Hydraulic Performance Of Non-Rectangular Piano Key Weir (PKW), (2020).
- [12] M. Kumar, P. Sihag, N. Tiwari, S. Ranjan, Experimental study and modelling discharge coefficient of trapezoidal and rectangular piano key weirs, *Applied Water Science*, 10(1) (2020) 1-9.
- [13] P.J. Roache, Perspective: A Method for Uniform Reporting of Grid Refinement Studies, *Journal of Fluids Engineering*, 116(3) (1994) 405-413.
- [1] H.F. M, *Open-Channel Flow*, Macmillan, New York, 1966.
- [2] A. Ouamane, F. Lemprière, The Piano Key Weir is the solution to increase the capacity of the existing spillways, 2008.
- [3] R. M. Anderson, Piano Key Weir Head Discharge Relationships, Utah State University, 2011.
- [4] M.L. Ribeiro, M. Pfister, A.J. Schleiss, Overview of Piano Key weir prototypes and scientific model investigations, *Labyrinth and Piano Key Weirs II*, 273 (2013).
- [5] G. Cicero, J. Delisle, Discharge characteristics of Piano Key weirs under submerged flow, *Labyrinth and Piano Key Weirs II-PKW 2013*, (2013) 101-109.
- [6] A. Safarzadeh, B. Noroozi, 3D Hydrodynamics of Trapezoidal Piano Key Spillways, *International Journal of Civil Engineering*, 15 (2016) 1-13.
- [7] A. Mehboudi, J. Attari, S. Hosseini, Experimental study of discharge coefficient for trapezoidal piano key weirs, *Flow Measurement and Instrumentation*, 50 (2016) 65-72.

چکونه به این مقاله ارجاع دهید

A. Edalati, R. Amini , Numerical investigation of flow behavior over arced trapezoidal piano key weirs, *Amirkabir J. Civil Eng.*, 55(11) (2024) 2285-2310.

DOI: [10.22060/ceej.2023.22005.7879](https://doi.org/10.22060/ceej.2023.22005.7879)



